



Analiza podatkov

(od surovih podatkov do fizikalnih rezultatov)

- ➔ **od surovih do obdelanih pod.**
("Raw data -> DST")
prilagajanje sledi
določanje gib. količ.
kalorimetrija (rekon. pljuskov v kalorim.)
identifikacija delcev (rekon. kota Āerenkova)
 - ➔ **umeritev**
umeritev sledilnih det.
umeritev podatkov in MC (RICH)
 - ➔ **analiza**
stat. metode ⇒ druga predavanja
rekon. pljuskov
označevanje tež kih (b) kvarkov
kinem. prilagajanje
ekskluzivni in inkluzivni kanali
umetne nevronske mreže ⇒ druga predavanja
1. del
2. del



Title:

(anal1gz.eps)

Creator:

(ImageMagick)

Preview:

This EPS picture was not saved
with a preview included in it.

Comment:

This EPS picture will print to a
PostScript printer, but not to
other types of printers.



Title:

(anal1agz.eps)

Creator:

(ImageMagick)

Preview:

This EPS picture was not saved
with a preview included in it.

Comment:

This EPS picture will print to a
PostScript printer, but not to
other types of printers.

Od surovih do obdelanih podatkov

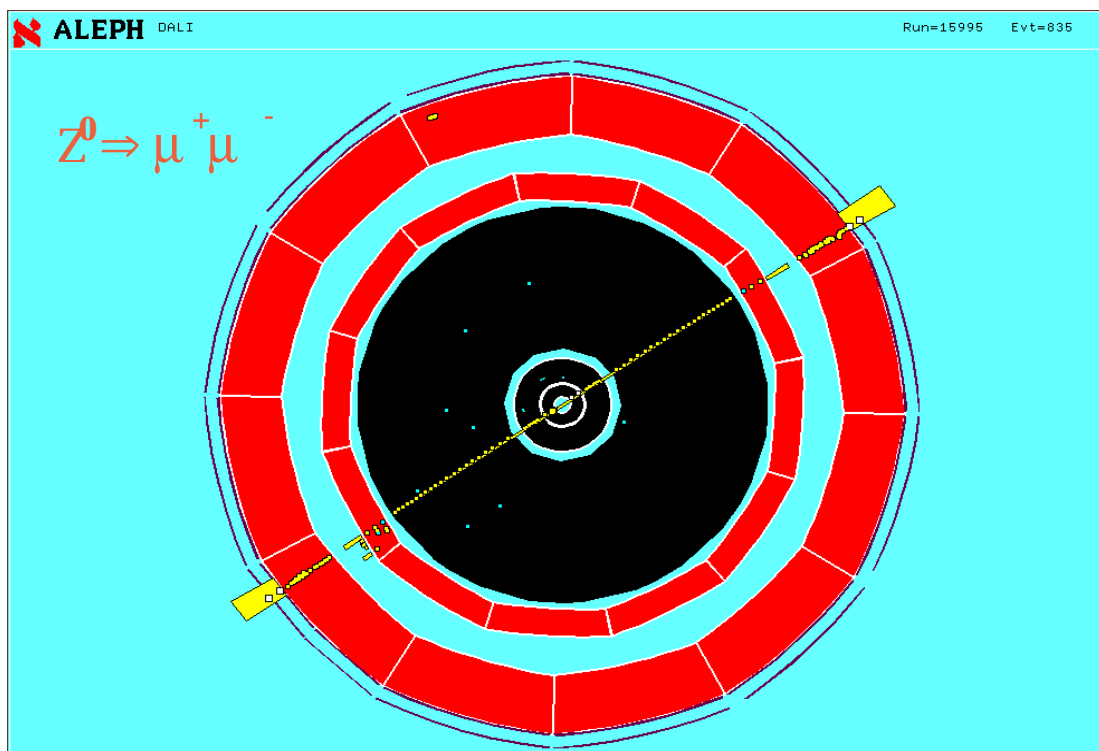


surovi podatki (Raw data): digitaliziran zapis elektronskih signalov v detektorju

neposredno uporabni za grafično upodobitev



| | |
|--------------------|------------------|
| kateri del detekt. | vrednost signala |
|--------------------|------------------|



Za statistično obdelavo podatkov potrebujemo fizikalne količine:

$\vec{p}, E, q,$
identifikacijo (m)



Obdelani podatki
DST - Data Summary Tape



Od surovih do obdelanih podatkov

Rekonstrukcija

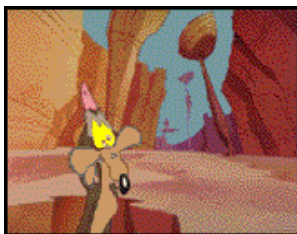
➡ Postopek "predelave" surovih v obdelane podatke imenujemo **rekonstrukcija**

primer:

ugotovitev, da gre za $Z^0 \Rightarrow \mu^+ \mu^-$ zahteva:

dve sledi z ustrežno p majhno deponirano E μ identifikacijo

↓
asociacija signalov
v sledilnih det. v
skupine - sledi;
prilagajanje sledi;
določitev gib. količ.



↓
asociacija signalov
v kalorim. v skupine
- pljuske;
asociacija sledem



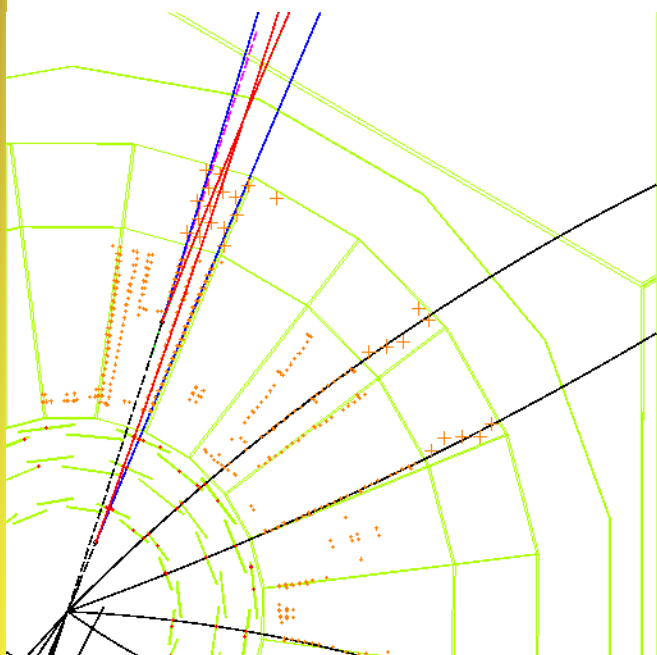
↓
preverjanje števila
zadetkov v μ det.;
asociacija sledem;
(za nabite hadrone
drugaèni postopki)





Od surovih do obdelanih podatkov

Prilagajanje sledi



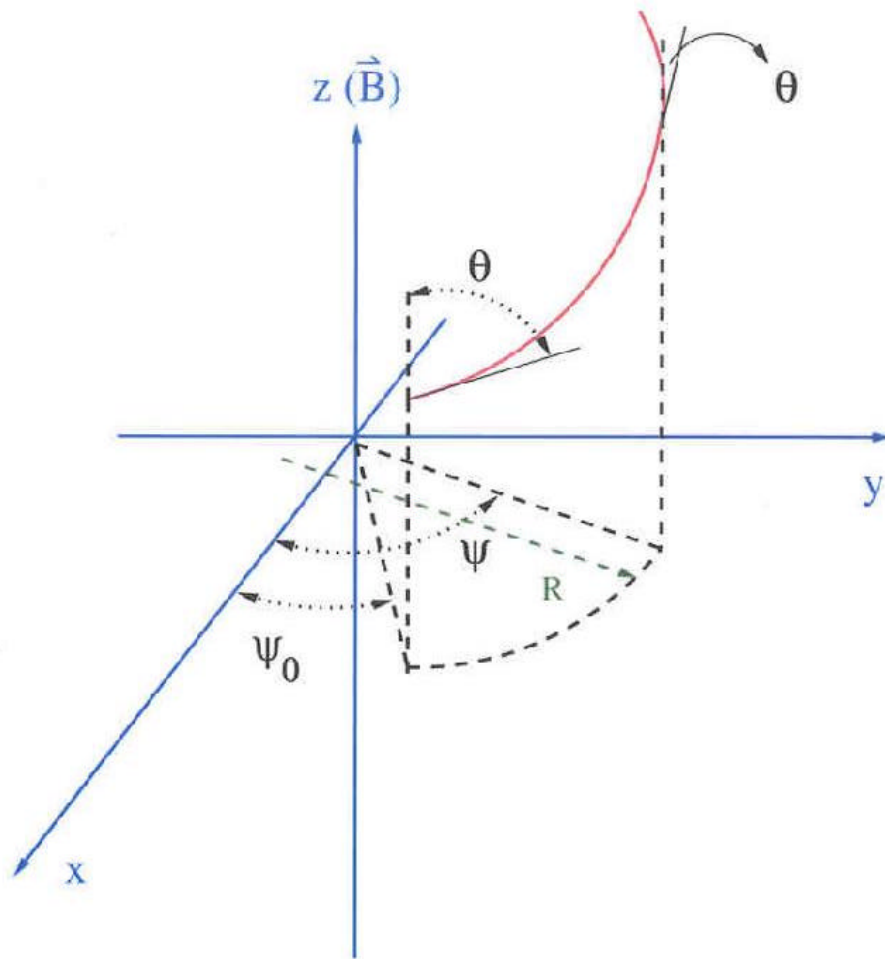
- ➔ Nabite sledi se gibljejo po vijaènici ↻ vijaènica
- ➔ Elektronske signale v sledilnih detektorjih družimo v skupine - sledi
("Pattern recognition")
- ➔ Skozi izbrane zadetke prilagajamo parametre sledi
("Track fitting")



Od surovih do obdelanih podatkov

Prilagajanje sledi

Parametrizacija vijačnice:



$$\begin{aligned}x &= x_0 + R(\sin \psi - \sin \psi_0) \\y &= y_0 - R(\cos \psi - \cos \psi_0) \\z &= z_0 + R \cot \theta (\psi - \psi_0)\end{aligned}$$

Nabito sled lahko torej parametriziramo z nizom petih parametrov v izbrani točki:

$$\begin{aligned}\text{npr. } & y_0, z_0, \psi_0, \theta_0, R_0^{-1} \\ & (x_0 = y_0 / \tan \psi_0)\end{aligned}$$



Od surovih do obdelanih podatkov

Prilagajanje sledi



Iskanje sledi ("Pattern recognition")

Pri velikem št. zadetkov v det. si težko privoščimo preverjanje kompatibilnosti zadetkov s hipotezo (vijačnico);
zato **transformacija** v transverzalni ravnini



Skica in nekaj enačb



Algoritem druženja zadetkov v posameznih detektorjih:

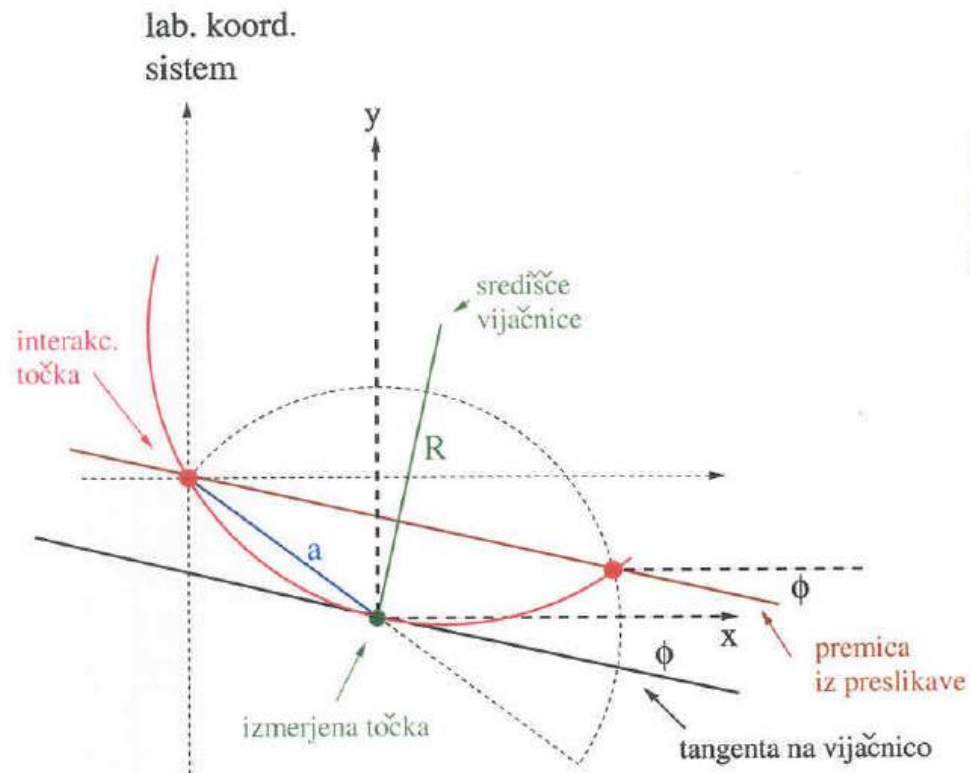
- za majhne odseke sledi, rekonstr. v (najnatannejšem) sledilnem detekt. (TE – “track element”), imamo $x_s, y_s, z_s, \phi_s, R_s, \psi_s$
- za vsak TE iz preostalih detektorjev izračunamo preslikano točko x', y'
- izračunamo ϕ' (kot med x', y' in int. točko)
- preverimo $|\phi' - \phi_s| < \alpha$
- iz $\Delta z = |z - z_s|$ in ψ_s izračunamo ψ' ($\Delta z = R_s \cot\theta (\psi - \psi_s)$)
- preverimo èe $|\psi'(\text{izračunan}) - \psi'(\text{izmerjen})| < \beta$



Od surovih do obdelanih podatkov

Prilagajanje sledi

”Pattern Recognition”:



Projekcijo vijačnice na transv. ravnino (krožnica) transformiramo v premico:

$$x' = \frac{a^2 x}{x^2 + y^2}$$

$$y' = \frac{a^2 y}{x^2 + y^2}$$

$$\text{krožnica } (x - x_c)^2 + (y - y_c)^2 = R^2$$

$$\text{ustreza premici } y' = -\frac{x_c}{y_c} x' + \frac{a^2}{2y_c}$$

$$\left. \frac{dy}{dx} \right|_{x=0, y=0} = -\frac{x_c}{y_c}$$



Prilagajanje sledi



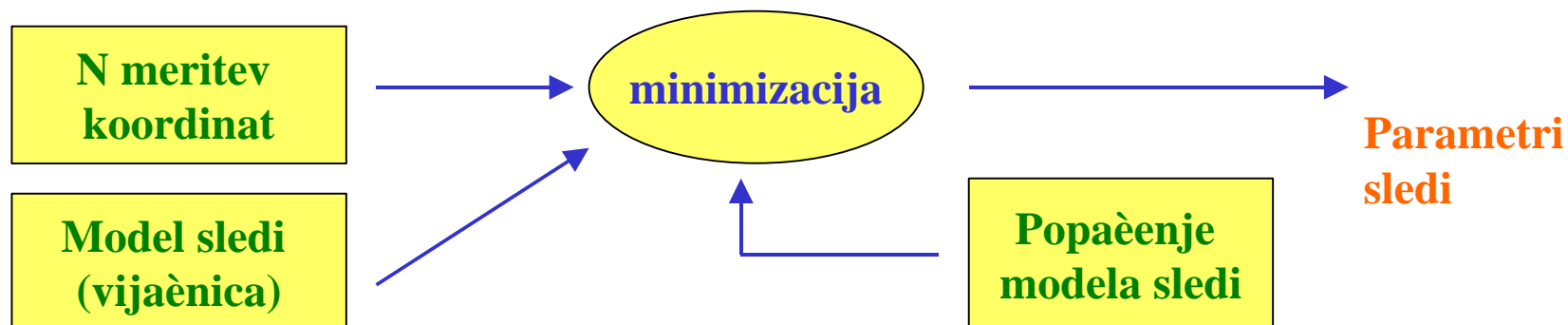
Lastnosti takega algoritma:

- minimalno število zank
- α in β lahko ustrezno nastavimo za vsak detektor oziroma njegov del
- algoritem uporablja interakcijsko točko in je zato neprimeren za določanje sekundarnih sledi
- vsak TE lahko pripada več sledem
- če je v katerem izmed detektorjev na voljo dodatna informacija (smer, energija) jo lahko dodamo v algoritem

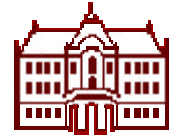


Prilagajanje parametrov sledi:

Namen prilagajanja je določitev parametrov sledi (vijaènice) v izbrani toèki (najveèkrat v toèki, ki je najbližje interakcijski)

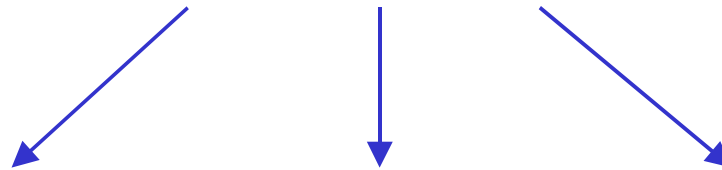


Od surovih do obdelanih podatkov



Prilagajanje sledi

- ➔ **Postopke prilagajanja parametrov sledi razdelimo glede na**
 - naèin uporabe modela sledi
 - naèin upoštevanja popaèenja modela (veèkratno sipanje, energijske izgube)



Globalni postopki **Progresivni postopki** **Postopki lomitvenih toèk**
'Global Methods' **'Progressive Methods'** **'Break Points Methods'**

- ➔ **Globalni postopki**
prispevek veèkratnega sipanja upošteevamo v matriki napak;
minimiziramo χ^2 vseh merskih toèk hkrati



Nazaj k nekaj enaèbam



Od surovih do obdelanih podatkov Prilagajanje sledi

Model sledi (pričakovana vrednost merjenih koordinat):

$$\begin{pmatrix} x_{\text{exp}}^n \\ y_{\text{exp}}^n \\ z_{\text{exp}}^n \end{pmatrix} = \begin{pmatrix} x_0 + R_0^{-1} [\sin \psi_n - \sin \psi_0] \\ y_0 - R_0^{-1} [\cos \psi_n - \cos \psi_0] \\ z_0 + R_0^{-1} \cot \theta_0 [\psi_n - \psi_0] \end{pmatrix}$$

5 neodvisnih parametrov, npr. $y_0, z_0, \psi_0, \theta_0, R_0^{-1}$, $x_0 = y_0 / \tan \psi_0$.

Če imamo N meritev, vsaka postreže s tremi koordinatami, \Rightarrow model sestavlja N 3-dimenzionalnih funkcij, ki so odvisne od 5 izbranih parametrov:

$$\vec{f}(\vec{p}_0)$$

Globalna metoda - minimizacija χ^2 za vse merske točke hkrati:

$$\chi^2(\vec{p}_0) = (\vec{f}(\vec{p}_0) - \vec{m})^T \vec{C}^{-1} (\vec{f}(\vec{p}_0) - \vec{m})$$



Od surovih do obdelanih podatkov

Prilagajanje sledi

Primer globalnega prilagajanja parametrov sledi - premica:

”Parametrizacija” premice: $y = kx_n + y_0$

N meritev koord. y pri danih x_n :

| N | $k\Delta x$ | $\sigma_k\Delta x$ |
|-----|---|--------------------|
| 2 | $y_2 - y_1$ | $\sqrt{2}\sigma$ |
| 3 | $(y_3 - y_1)/2$ | $\sigma/\sqrt{2}$ |
| 4 | $\frac{1}{10}(3y_4 + y_3 - y_2 - 3y_1)$ | $\sigma/\sqrt{5}$ |

$$\chi^2 = \sum_{n=1}^N \frac{(y_n - kx_n - y_0)^2}{\sigma_n^2}$$

minimizacija nam da sistem

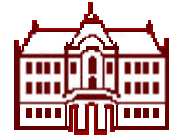
$$k \sum_{n=1}^N \frac{x_n^2}{\sigma_n^2} + y_0 \sum_{n=1}^N \frac{x_n}{\sigma_n^2} - \sum_{n=1}^N \frac{y_n x_n}{\sigma_n^2} = 0$$

$$k \sum_{n=1}^N \frac{x_n}{\sigma_n^2} + y_0 \sum_{n=1}^N \frac{1}{\sigma_n^2} - \sum_{n=1}^N \frac{y_n}{\sigma_n^2} = 0$$

za $x_n = n\Delta x$ in $\sigma_n = \sigma \Rightarrow$

$$k = \frac{1}{\Delta x} \frac{N \sum n y_n - \sum n \sum y_n}{N \sum n^2 - (\sum n)^2}$$

Od surovih do obdelanih podatkov



Prilagajanje sledi



Globalna metoda

- uporabi vse merske točke hkrati
- ni primerna za hkratno iskanje sledi (za razliko od progresivne metode)
- računsko zahtevna (obrat $N \times N$ matrike)



Progresivna metoda (Kalmanov filter)

- znani parametri sledi po n meritvah
- uporabimo model sledi, da ekstrapoliramo te parametre do naslednje merske točke
- parametre po $n+1$ meritvi dobimo kot povprečje ekstrapoliranih in izmerjenih parametrov v $n+1$ merski točki



Enaèbe in primerjava
z globalno metodo



Od surovih do obdelanih podatkov

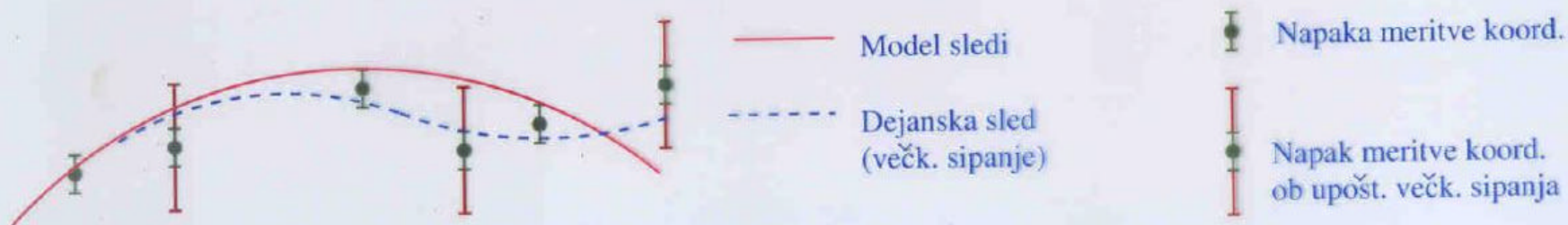
Prilagajanje sledi

Globalna metoda - matrika napak:

$$C_{ij} = \sigma_i \sigma_j \delta_{ij} + \overline{\epsilon_i^{MS} \epsilon_j^{MS}}$$

σ_i - nezanesljivost posamezne meritve; ϵ_i^{MS} - prispevek k napaki meritve zaradi večkratnega sipanja (Molièrova enačba):

$$\begin{aligned} \overline{\theta_i^{MS}} &= 0 \\ \sqrt{(\overline{\theta_i^{MS}})^2} &= \frac{13,6 \text{ MeV}}{cp\beta} \sqrt{\frac{L}{X_0}} \left[1 + 0.038 \ln \frac{L}{X_0} \right] \end{aligned}$$



Porazdelitev $(y_{izmer} - y_{fit})/\sigma_y$ ("pull") je merilo razumevanja večkratnega sipanja in ne merskih napak.



Od surovih do obdelanih podatkov

Prilaganje sledi

Progresivna metoda:

(nekaj splošnih enačb, lažje bo s premico)

Poznamo vektor parametrov sledi po n merskih točkah, \vec{p}_n^F , in matriko napak W_n

Z upoštevanjem ustreznega modela iz vrednotimo ekstrapolirane parametre na mestu naslednje meritve, \vec{p}_n^{Fe}

Ekstrapoliramo tudi matriko napak, W_n^e

$$W_n^e = D^T W_n D, \text{ kjer je } D = \frac{\partial \vec{p}}{\partial \vec{p}^e}$$

χ^2 sestavimo kot vsoto prispevka ekstrapolacije in meritve:

$$\chi^2(\vec{p}_{n+1}) = \underbrace{\chi^2(\vec{p}_n^F)}_{\chi^2 \text{ iz } n \text{ merskih točk}} + \underbrace{[\vec{p}_{n+1} - \vec{p}_n^{Fe}]^T W_n^e [\vec{p}_{n+1} - \vec{p}_n^{Fe}]}_{\text{prispevek ekstrapolacije}} + \underbrace{[\vec{p}_{n+1} - \vec{p}_{n+1}^{\text{izmer}}]^T U [\vec{p}_{n+1} - \vec{p}_{n+1}^{\text{izmer}}]}_{\text{prispevek } n+1 \text{ meritve}}$$

Minimizacija χ^2 nam da sistem enačb za \vec{p}_{n+1}^F



Od surovih do obdelanih podatkov

Prilagajanje sledi

Primer progresivne metode - premica:

Poznamo koordinato y in naklon premice iz vrednoten iz n merskih točk, \vec{p}_n^F ,
izvrednotimo obe količini v naslednji merski točki, \vec{p}_n^{Fe} :

$$\vec{p}_n^{Fe} = \begin{pmatrix} y_n^F + k_n^F \Delta x \\ k_n^F \end{pmatrix} = \begin{pmatrix} y_n^{Fe} \\ k_n^{Fe} \end{pmatrix}$$

Ekstrapolirana matrika napak:

$$D = \frac{\partial \vec{p}}{\partial \vec{p}^e} = \begin{pmatrix} \frac{\partial y_n}{\partial y_n^e} & \frac{\partial y_n}{\partial k_n^e} \\ \frac{\partial k_n}{\partial y_n^e} & \frac{\partial k_n}{\partial k_n^e} \end{pmatrix} = \begin{pmatrix} 1 & -\Delta x \\ 0 & 1 \end{pmatrix}$$

$$W_n^e = D^T W_n D$$



Od surovih do obdelanih podatkov

Prilagajanje sledi

Primer progresivne metode - premica:

Splošne enačbe \hookrightarrow literatura

Začnemo v izbrani točki, za katero je seveda

$$y_1^F = y_1^{Fe} = y_1^m, \quad k_1 = k_1^F = k_1^{Fe} = 0$$

Začetna matrika napak (za eno samo meritev)

$$W_1 = \begin{pmatrix} 1 & -\Delta x \\ \sigma^2 & 0 \\ 0 & 0 \end{pmatrix} \text{ od tod sledi } W_1^e = \begin{pmatrix} 1 & -\Delta x \\ \sigma^2 & \sigma^2 \\ -\Delta x & \Delta x^2 \\ \sigma^2 & \sigma^2 \end{pmatrix}, \quad W_2 = W_1^e + U = \begin{pmatrix} 2 & -\Delta x \\ \sigma^2 & \sigma^2 \\ -\Delta x & \Delta x^2 \\ \sigma^2 & \sigma^2 \end{pmatrix} \text{ itd.}$$

| N | $k^F \Delta x$ | $\sigma_k^F \Delta x$ |
|-----|---|--|
| 2 | $y_2 - y_1$ | $\sqrt{2}\sigma$ |
| 3 | $\frac{1}{5}(3y_3 - y_2 - 2y_1)$ | $\sqrt{\frac{14}{25}}\sigma = 0,748\sigma$ |
| 4 | $\frac{1}{70}(30y_4 - y_3 - 18y_2 - 11y_1)$ | $0,524\sigma$ |

$$P_n^F \Rightarrow P_n^{F,c} = \begin{pmatrix} y_n^{F,c} \\ A_n^{F,c} \end{pmatrix}_{1, \dots, n} = \begin{pmatrix} y_n^F + \Delta x A_n^{F,c} \\ A_n^F \end{pmatrix}_{1, \dots, n}$$

ekstrap.
param.

where $\Delta x = x_{n+1} - x_n$

$$W_n \Rightarrow W_n^c = D^T W_n D,$$

where

$$D = \partial P / \partial P^c = \begin{pmatrix} 1 & -\Delta x \\ 0 & 1 \end{pmatrix},$$

$$\therefore D^{-1} = \begin{pmatrix} 1 & \Delta x \\ 0 & 1 \end{pmatrix}.$$

By denoting W_n as

$$W_n = \begin{pmatrix} w_{11} & w_{12} \\ w_{21} & w_{22} \end{pmatrix},$$

and noticing W_n is symmetric, i.e. $w_{21} = w_{12}$, we get

$$W_n^c = \begin{pmatrix} 1 & 0 \\ -\Delta x & 1 \end{pmatrix} \begin{pmatrix} w_{11} & w_{12} \\ w_{21} & w_{22} \end{pmatrix} \begin{pmatrix} 1 & -\Delta x \\ 0 & 1 \end{pmatrix}$$

ekstrap. inv.
matritika
mapak

PROGRESIVNO PRILAGAJANJE PREMICE ENAČBE

$$y_{n+1}^F = [y_{n+1}^m - y_n^{F,c} / \sigma^2] / \sqrt{V_{11} + \frac{1}{\sigma^2} \frac{V_{12}^2}{V_{22}}} + y_n^{F,c}$$

$$k_{n+1}^F = - \left(y_{n+1}^m - y_n^{F,c} \right) \frac{V_{12}}{V_{22}} + k_n^{F,c}$$

$$= \begin{pmatrix} w_{11} & w_{12} - w_{11} \Delta x \\ w_{12} - w_{11} \Delta x & w_{22} - 2w_{12} \Delta x + w_{11} (\Delta x)^2 \end{pmatrix}$$

The system equation is

$$(W_n^c + U)(P_{n+1} - P_n^{F,c}) = U \begin{pmatrix} y_{n+1}^m - y_n^{F,c} \\ 0 \end{pmatrix},$$

where

$$U = \begin{pmatrix} 1/\sigma^2 & 0 \\ 0 & 0 \end{pmatrix}.$$

By denoting W_n^c as

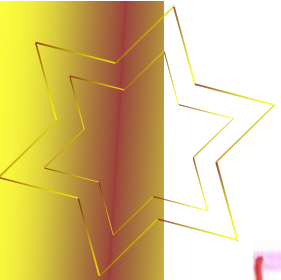
$$W_n^c = \begin{pmatrix} V_{11} & V_{12} \\ V_{21} & V_{22} \end{pmatrix},$$

the above equation can be explicitly expressed as

$$\begin{pmatrix} V_{11} + (1/\sigma^2) & V_{12} \\ V_{21} & V_{22} \end{pmatrix} \begin{pmatrix} y_{n+1}^F - y_n^{F,c} \\ A_{n+1}^F - A_n^{F,c} \end{pmatrix} = \begin{pmatrix} (y_{n+1}^m - y_n^{F,c})/\sigma^2 \\ 0 \end{pmatrix}.$$

Its solutions are (again noticing $V_{21} = V_{12}$):

$$y_{n+1}^F = \left[(y_{n+1}^m - y_n^{F,c})/\sigma^2 \right] / \left[V_{11} + (1/\sigma^2) - (V_{12})^2/V_{22} \right] + y_n^{F,c}$$





Od surovih do obdelanih podatkov

Prilagajanje sledi

Progresivna metoda - večkratno sipanje

V matriki napak upoštevamo prispevek večkratnega sipanja od merske točke n do merske točke $n+1$:

$$W_n^e = \left[\left[D^T W_n D \right]^{-1} + W_{MS}^{-1} \right]^{-1}$$

Z ustrezno matriko napak zaradi večkratnega sipanja W_{MS} lahko upoštevamo podrobnosti materiala med merskima točkama n in $n+1$.

Od surovih do obdelanih podatkov



Prilagajanje sledi



Progresivna metoda

- omogoča hkratno iskanje in prilagajanje sledi
- pomembne sipalne centre ('break point') inherentno vključimo



Poglej
enaèbe



Metoda lomitvenih toèk

Metoda je primerna v primeru omejenega števila predelov na poti delcev, kjer se le-le-ti moèno sipljejo;
v tem primeru dodamo parametrom sledi kot proste parametre prilagajanja še kote sipanja

$$\chi^2(\vec{p}_0) \longrightarrow \chi^2(\vec{p}_0, \vec{\theta})$$

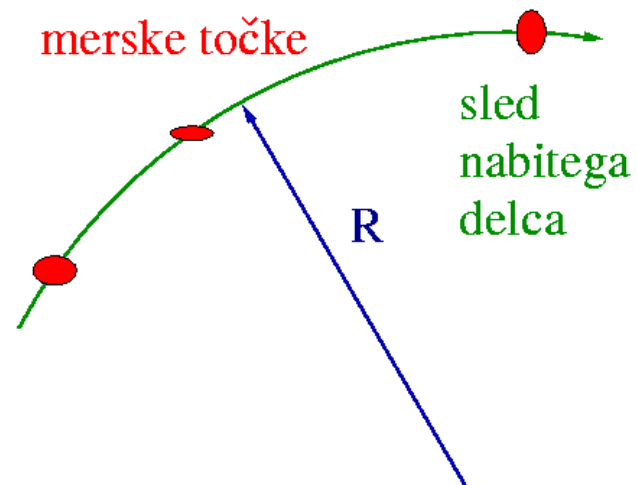


Od surovih do obdelanih podatkov

Meritev gibalne količine

➡ V mag. polju: $p_t = q B R$

Iz ukrivljenosti R določimo
komp. gib. količ. transv. na $B \Rightarrow$
dejanska meritev: iz merskih točk na
ukrivljeni sledi nabitega delca določamo
ukrivljenost



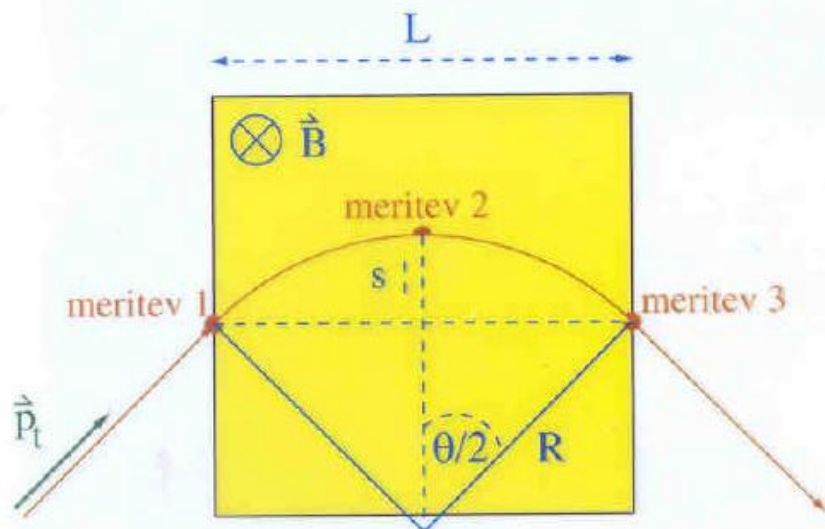
natančnost odvisna od:

- št. merskih točk
 - prostorske ločljivosti
 - integrala polja BL
 - gib. Količine
- ↪ nekaj enačb

- večkratnega sipanja delca v materialu sledilnih detektorjev
- ↪ še nekaj enačb



Meritev gibalne količine



$$p_t = q B R \Rightarrow R = \frac{p_t}{qB}$$

$$\sin \frac{\theta}{2} \approx \frac{\theta}{2} = \frac{L}{2R}$$

$$\cos \frac{\theta}{2} = \frac{R-s}{R} \Rightarrow s \approx R \frac{\theta^2}{8}$$

$$s = \frac{B L^2 q}{8 p_t}$$

Ce določimo s s tremi meritvami, ki imajo enako natančnost σ_x :

$$s = x_2 - \frac{x_1 + x_3}{2}$$

$$\frac{\sigma(p_t)}{p_t} = \frac{\sigma(s)}{s} = \frac{\sqrt{\frac{3}{2}} \sigma(x) 8 p_t}{B L^2 q}$$

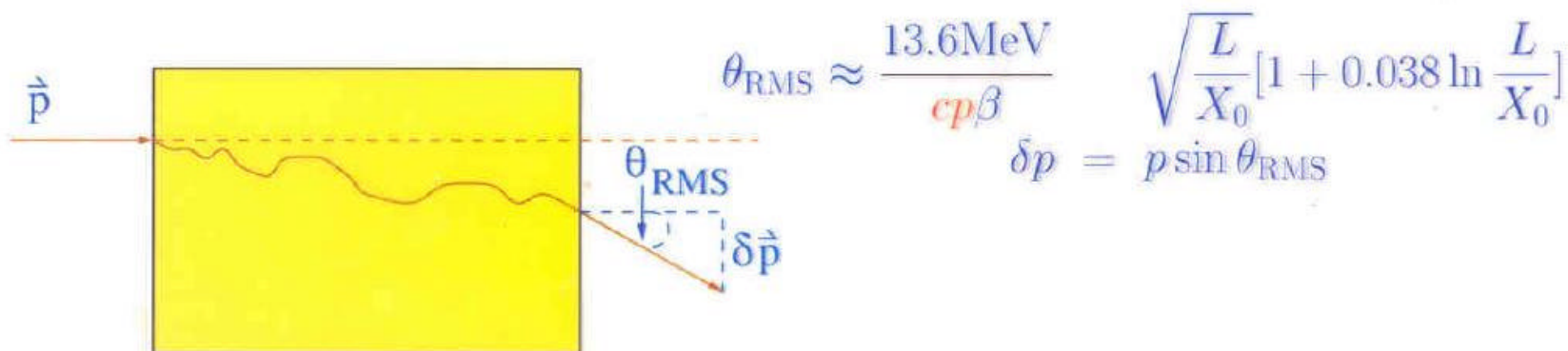
za N ekvidistantnih meritev se izkaze :

$$\frac{\sigma(p_t)}{p_t} = \frac{\sigma(x) 8 p_t}{B L^2 q} \sqrt{\frac{720}{N+4}}$$



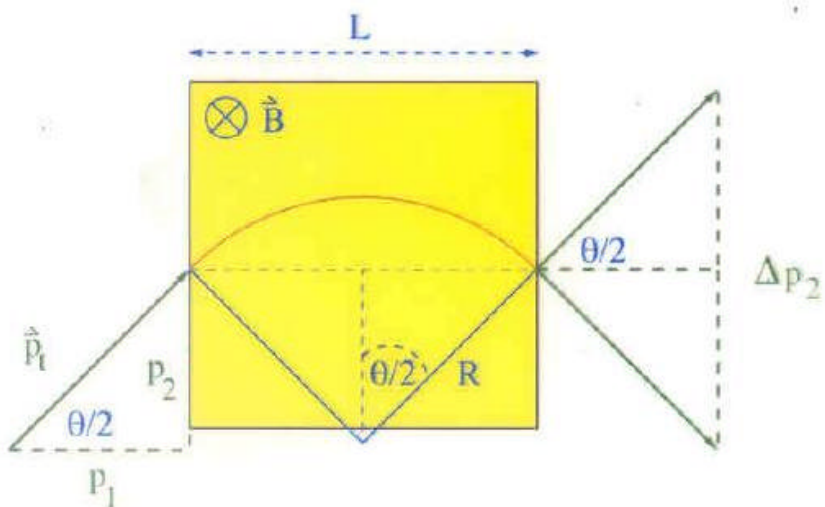
Od surovih do obdelanih podatkov

Meritev gibalne količine



$$\theta_{\text{RMS}} \approx \frac{13.6 \text{ MeV}}{cp\beta} = \sqrt{\frac{L}{X_0}} [1 + 0.038 \ln \frac{L}{X_0}]$$

$$\delta p = p \sin \theta_{\text{RMS}}$$



$$\Delta p_2 = 2p_t \sin \frac{\theta}{2} \approx p_t \theta$$

$$\frac{\sigma(p_t)}{p_t} = \frac{\sigma(\Delta p_2)}{\Delta p_2}$$

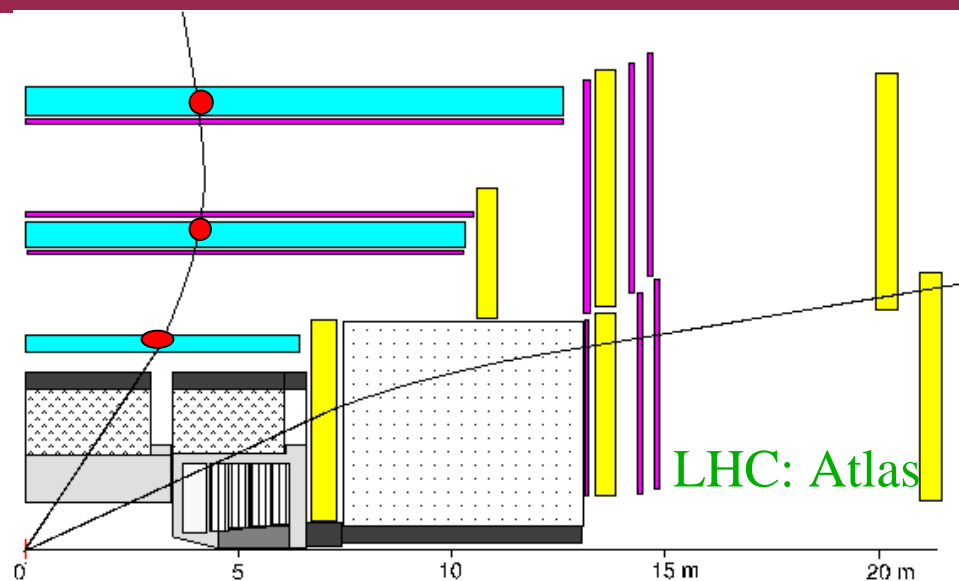
$$\frac{\sigma(p_t)}{p_t} \approx \frac{p_t \sin \theta_{\text{RMS}}}{p_t \theta} \approx \frac{\theta_{\text{RMS}}}{\theta}$$

$$\frac{\sigma(p_t)}{p_t} \approx \frac{13.6 \text{ MeV}}{qB\sqrt{LX_0}}$$



Od surovih do obdelanih podatkov

Meritev gibalne količine



Muon Drift Tube chambers (MDT)

3 meritve v obroèastem delu

$$\sigma(x) = 50 \mu\text{m}$$

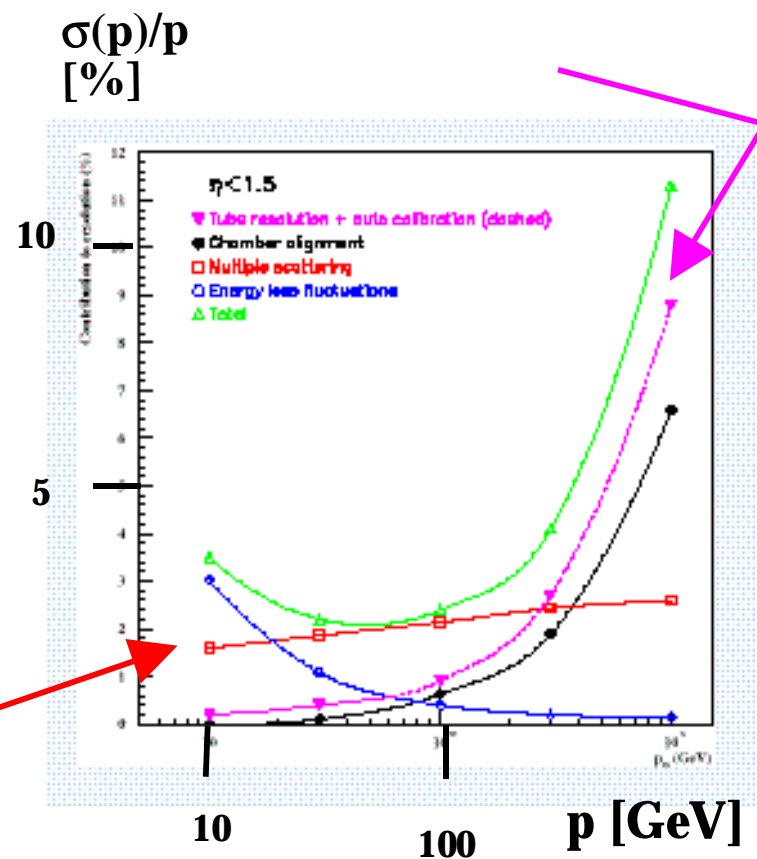
$$L = 4 \text{ m}$$

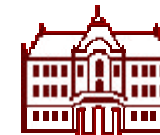
$$B = 1 \text{ T (BL = 3 - 9 Tm)}$$

1000 GeV μ iz W', Z'

$$\Rightarrow \sigma(p)/p \sim 10\%$$

Veèkratno sipanje



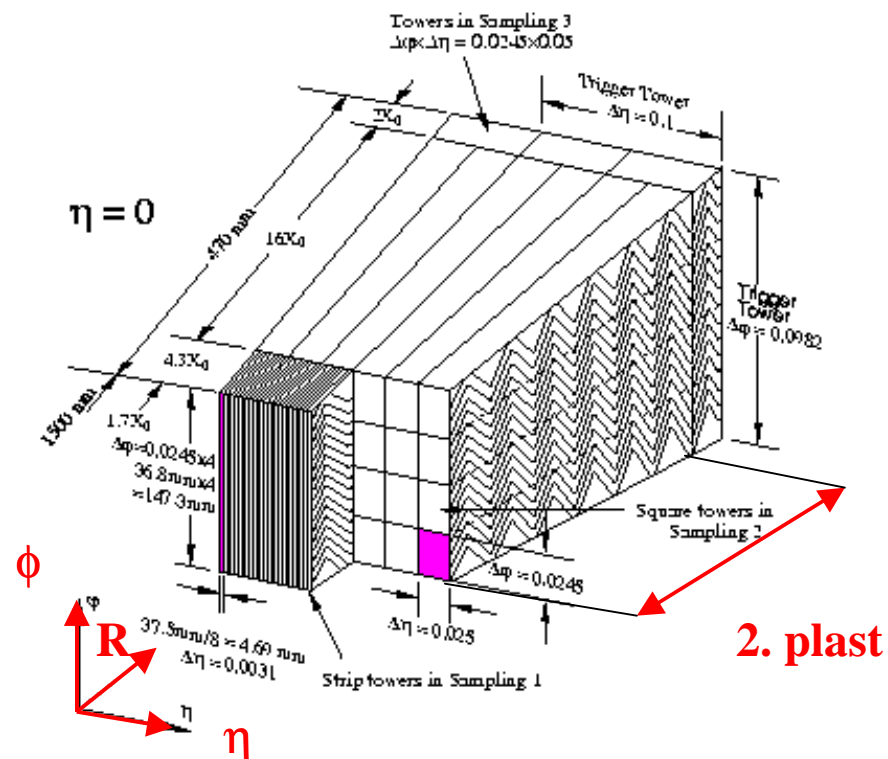


Pljuski v kalorimetrih

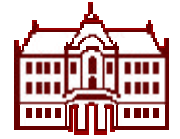
➡ Kalorimetri so granulirani – sestavljeni posameznih celic; nabit ali nevtralen delec pusti energijo v več celicah; zanima nas celotna energija delca (ali celo pljuska – hadronski kalorim.); potrebujemo metodo, da posamezne celice pripišemo posameznim sledem (“clustering”)

➡ Namen asociacije pljuskov v kalorimetrih:

- izboljšano razmerje signal/šum z upoštevanjem korelacije med celicami (vzrok korelac.: razvoj pljuska)
- ločevanje EM in hadronskih pljuskov
- iskanje izoliranih delcev (e , γ , μ)



ATLAS LiAr EM kalorim.:
harmonikasta geom;
3 plasti v R;
2. plast: $\Delta\eta \times \Delta\phi = 0.025 \times 0.025$
 $\eta = -\ln(\tan(\Theta/2)) \Rightarrow 4 \text{ cm} \times 4 \text{ cm}$



Pljuski v kalorimetrih

➔ **Rekonstrukcija pljuskov poteka v nekaj korakih:**

-osnovna izbira celic

izkljuèitev celic na podlagi znanega šuma (“online”);
izbor celic z visokim signalom (“seed”) ter okoliških
celic z morebitnim nižjim signalom
 $E_i/E_{\text{šum},i}$ a ($a=3,4,\dots$) in $E_j/E_{\text{šum},j}$ b ($b=2,3,\dots$);

-asociacija celic v pljuske

veè znanih algoritmov, npr. algoritem Mulguisina  slika

➔ **Hadronski kalorim. predvsem za meritev energije hadr. pljuskov;**

natanènost rekonstrukc. se kaže v loèljivosti inv. mase para hadr. pljuskov  slika

Optimizacija rekonstr. pljuskov v kalorim. odvisna od:
eksper. okolja (luminoznost);
prouèevanega fiz. procesa;



Od surovih do obdelanih podatkov

Pljuski v kalorimetrih

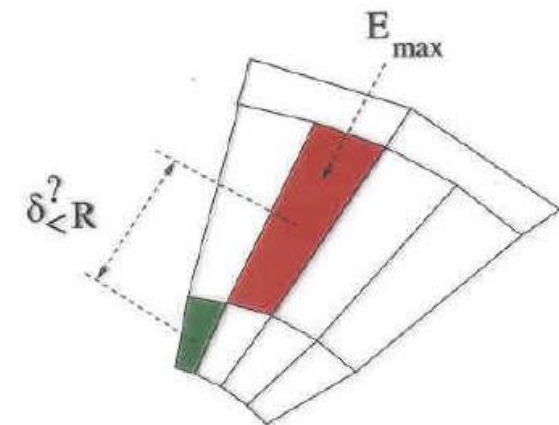
Algoritem Mulguisina

- Poiščemo celico z maksimalnim signalom E - predstavlja začetni pljusk; začetno velikost pljuska postavimo enako prostorski ločljivosti detektorja R_0
- Poiščemo celico z naslednjim največjim signalom E
- Izračunamo razdaljo med to celico in pljuskom: če je razdalja manjša od velikosti pljuska \Rightarrow celico pripojimo pljusk;

izračunamo *lahko* nov center pljuska (uteženo);
novo velikost pljuska *lahko* določimo
kot maksimalno razdaljo med centrom in posamezno celico;

če je razdalja večja od velikosti pljuska definiramo celico kot nov pljusk
in postavimo velikost na R_0

- Ponavljamo, dokler ne izčrpamo vseh celic



Lastnosti algoritma:

smer in velikost pljuska konstantna:

$$\begin{aligned}E_{k+1} &= E_k^{\text{pljusk}} + E_k^{\text{celica}} \\ \eta_{k+1}^{\text{pljusk}} &= \eta_k^{\text{pljusk}} \\ \phi_{k+1}^{\text{pljusk}} &= \phi_k^{\text{pljusk}} \\ R_{k+1}^{\text{pljusk}} &= R_0\end{aligned}$$

smer pljuska preračunana, velikost pljuska konstantna:

$$\begin{aligned}E_{k+1} &= E_k^{\text{pljusk}} + E_k^{\text{celica}} \\ \eta_{k+1}^{\text{pljusk}} &= (E_k^{\text{pljusk}} \eta_k^{\text{pljusk}} + E_k^{\text{celica}} \eta_k^{\text{celica}}) / (E_k^{\text{pljusk}} + E_k^{\text{celica}}) \\ \phi_{k+1}^{\text{pljusk}} &= (E_k^{\text{pljusk}} \phi_k^{\text{pljusk}} + E_k^{\text{celica}} \phi_k^{\text{celica}}) / (E_k^{\text{pljusk}} + E_k^{\text{celica}}) \\ R_{k+1}^{\text{pljusk}} &= R_0\end{aligned}$$

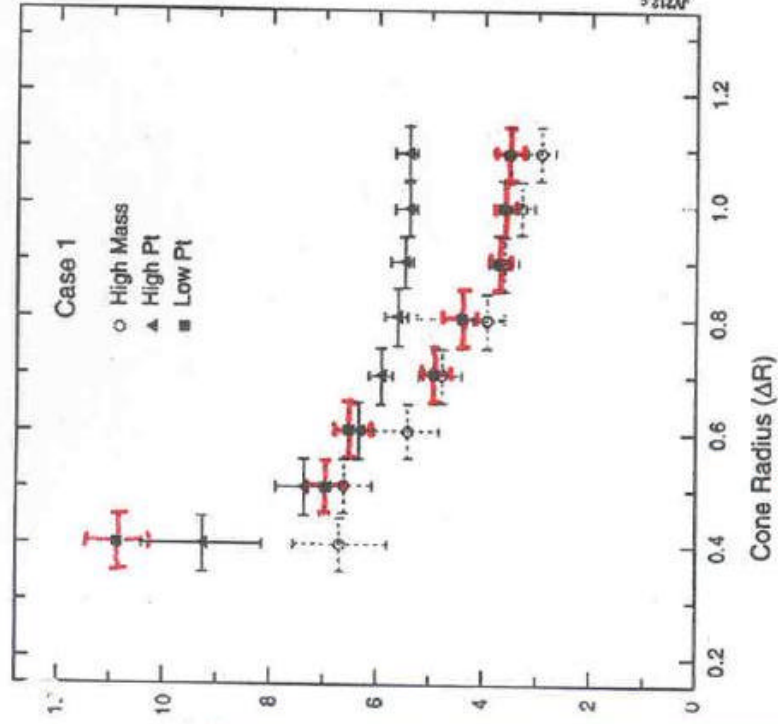
smer pljuska preračunana, velikost pljuska preračunana:

$$\begin{aligned}E_{k+1} &= E_k^{\text{pljusk}} + E_k^{\text{celica}} \\ \eta_{k+1}^{\text{pljusk}} &= (E_k^{\text{pljusk}} \eta_k^{\text{pljusk}} + E_k^{\text{celica}} \eta_k^{\text{celica}}) / (E_k^{\text{pljusk}} + E_k^{\text{celica}}) \\ \phi_{k+1}^{\text{pljusk}} &= (E_k^{\text{pljusk}} \phi_k^{\text{pljusk}} + E_k^{\text{celica}} \phi_k^{\text{celica}}) / (E_k^{\text{pljusk}} + E_k^{\text{celica}}) \\ R_{k+1}^{\text{pljusk}} &= \max(R_k, \delta)\end{aligned}$$

Natančnost določanja inv. mase
 para hadronskih pljuskov

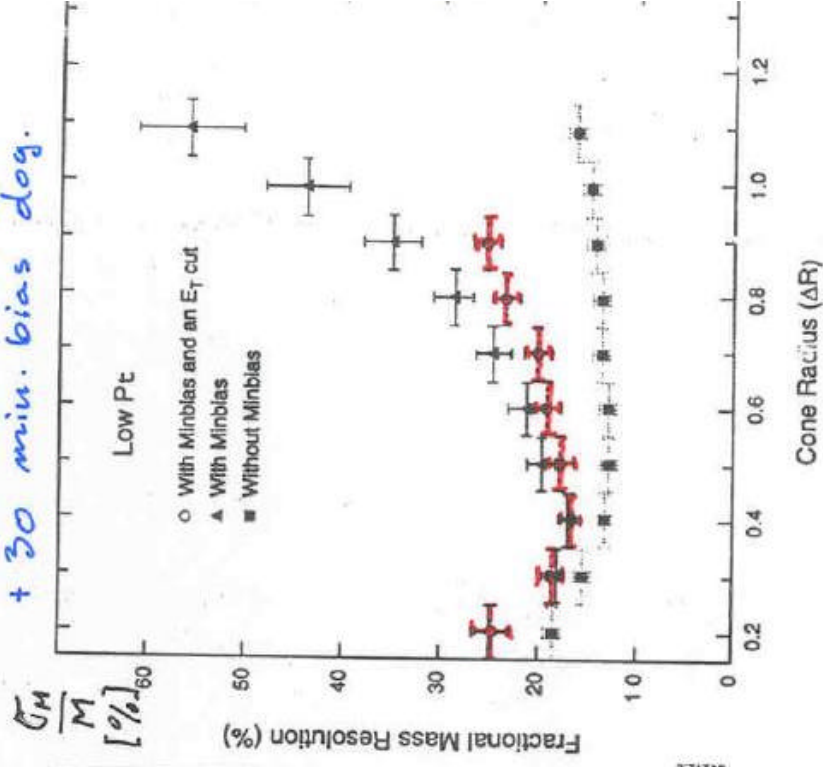
simulacija LHC

posamezen dogodek



→ večanjem velikosti
 pljuska rekonstr.
 večji del energ. ⇒
 ⇒ boljša ločljivost

posamezen dog.
 + 30 min. bias dog.



← manjšanjem
 velikosti pljuska
 rekonstr. manjši del
 energ. ⇒ slabša
 ločljivost

→ večanjem velikosti
 pljuska rekonstr. del
 energ. ostalih dog. ⇒
 ⇒ slabša ločljivost



Od surovih do obdelanih podatkov

Identifikacija delcev

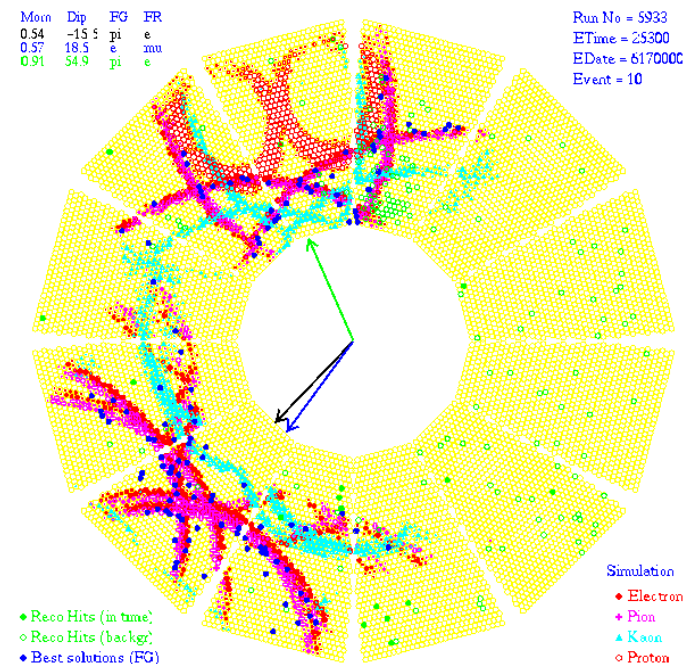
➔ **Detektorji obroèev Èerenkova:**
signali v fotonem detektorju =>
radij obroèa => Èerenkov kot =>
 β delca (masa)

Veliko število γ - nemogoèe
upoštevati vse kombinacije;

sled nabitega delca (preko enaèb,
odvisnih od geometrije detektorja)
podaja središèe obroèa;

upoštevamo le γ "dovolj blizu"
prièakovanega kota

$$\theta_c = \theta_c^{\text{exp}}(m_i) \pm N\sigma_\theta$$



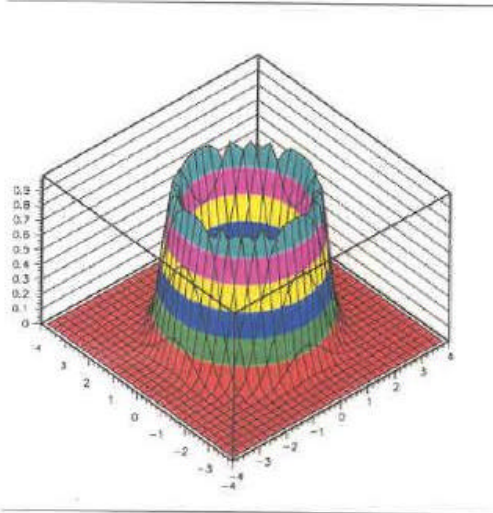
BaBar - DIRC



Od surovih do obdelanih podatkov

Identifikacija delcev

Funkcija maksimalne zanesljivosti za N fotonov, pričakovan signal N_{exp} , prost parameter število fotonov ozadja N_{bg} :



$$\mathcal{L}(N_{\text{bg}}) = \mathcal{P}_{\text{Poisson}} \prod_{i=1}^N \mathcal{P}_i$$

$$\mathcal{P}_{\text{Poisson}} = \frac{(N_{\text{exp}} + N_{\text{bg}})^N e^{-(N_{\text{exp}} + N_{\text{bg}})}}{N!}$$

$$\mathcal{P}_i = \frac{N_{\text{exp}}}{N_{\text{exp}} + N_{\text{bg}}} \underbrace{\frac{1}{\sqrt{2\pi}\sigma_i} e^{-\frac{(\theta_i - \theta_C)^2}{2\sigma_i^2}}}_{\text{Gaussova porazdelitev } \gamma \text{ okoli } \theta_C(p_i, m_i)} + \frac{N_{\text{bg}}}{N_{\text{exp}} + N_{\text{bg}}} \underbrace{\frac{\theta_i}{6\theta_C\sigma_i}}_{\text{enakomerna porazdelitev po površini detekt. } \propto \theta_i}$$

Tako izračunano funkcijo maks. zanesljivosti primerjamo z enako funkcijo ob predpostavki, da so fotoni zgolj ozadje: $N_{\text{exp}} = 0$, $N_{\text{bg}} = N$

\Rightarrow merilo za verjetnost da množica fotonov izvira iz delca z (p_i, m_i) .



Od surovih do obdelanih podatkov

Identifikacija delcev

Pri večjem številu fotonov lahko izvedemo grupiranje:

- foton z najmanjšo razdaljo (v enotah σ_C) do pričakovanega kota θ_C ;
- v obroč dodajamo fotone, ki so od prvega oddaljeni za manj kot $k\theta_C$; pri tem pri vsakem dodanem fotonu izračunamo povprečen θ_C :

$$\theta_C = \frac{\sum_i \frac{w_i \theta_i}{\sigma_i^2}}{\sum_i \frac{w_i}{\sigma_i^2}} \quad \sigma_C = \frac{1}{\sqrt{\sum_i \frac{w_i}{\sigma_i^2}}}$$

(z utežmi w_i lahko upoštevamo ozadje)

- to nadaljujemo, dokler ne zmanjka fotonov, nato ponovimo s preostalimi fotoni in za ostale masne hipoteze

⇒ rezultat je skupina obročev (vsak z N_{ring}^i fotoni) za vsako masno hipotezo

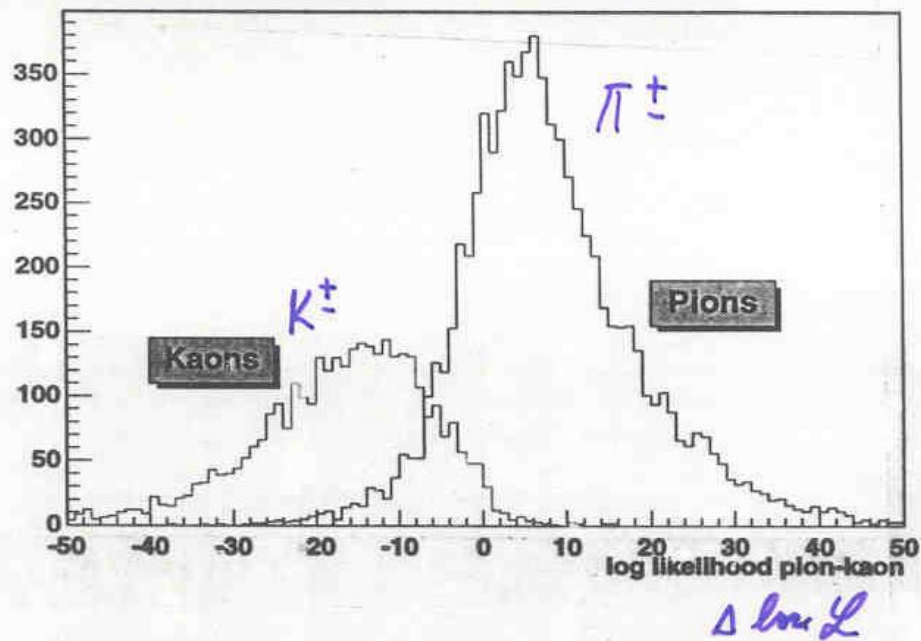
HERA-B:

LOČEVANJE K^{\pm}/π^{\pm}

- Funkc. maks. zaneslj.

$$\mathcal{L}(A^{\pm}, ne K^{\pm}) / \mathcal{L}(K^{\pm}, ne \pi^{\pm})$$

Likelihood distributions



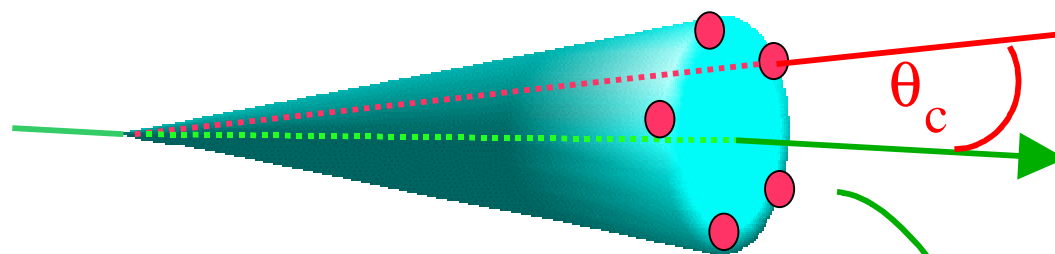


Od surovih do obdelanih podatkov

Identifikacija delcev

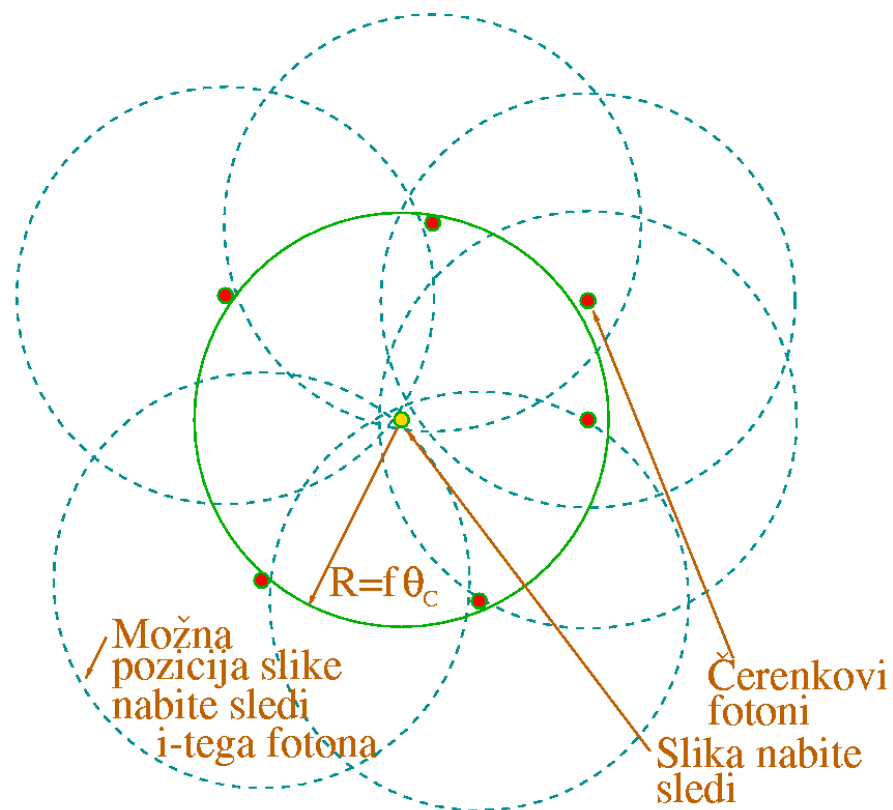
➡ Samostojno iskanje obroèev

HERA B:
histogramska metoda



slika na
fotonskem
detektorju

dodatna meritev za
 prilagajanje sledi ali
 koordinata sledi nepoznana

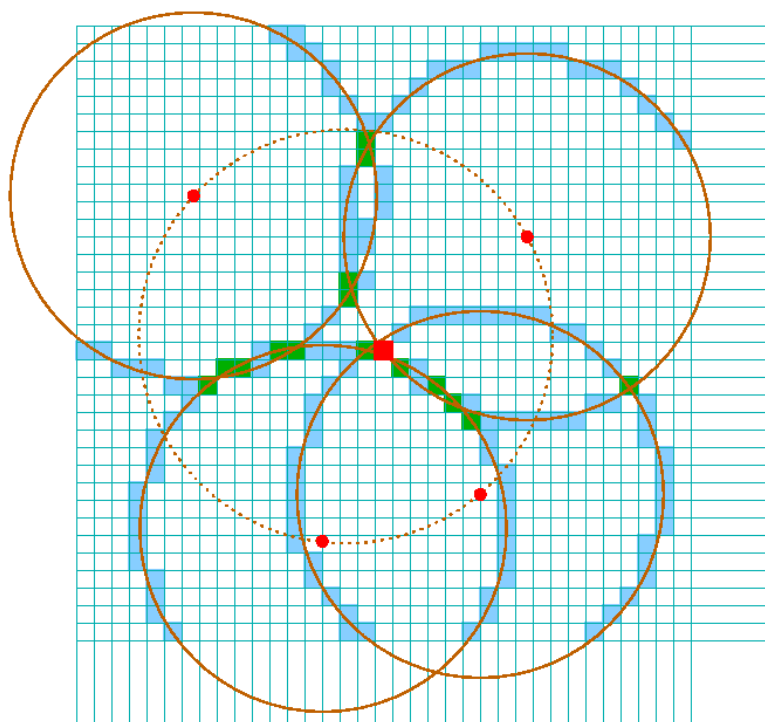


$$\theta_c = \kappa(\beta) \theta_0$$
$$\theta_0 = \theta_c (\beta=1)$$

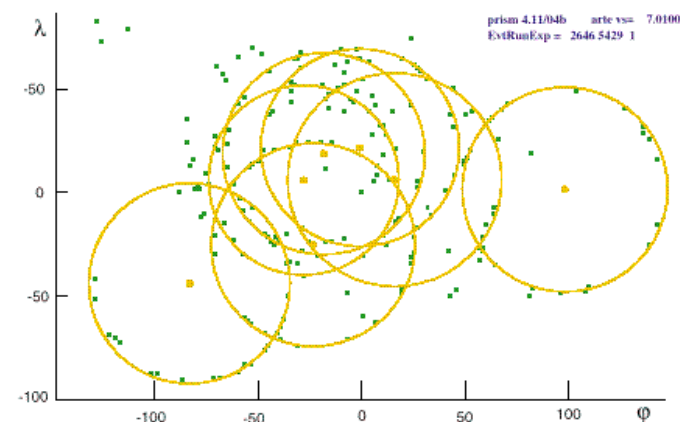
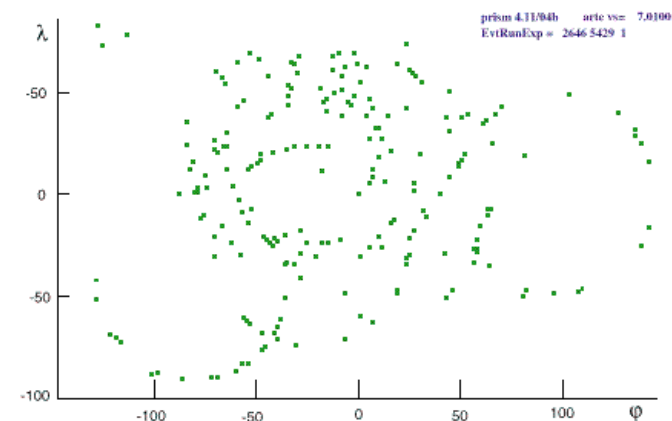
Od surovih do obdelanih podatkov



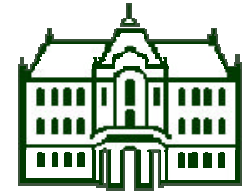
Identifikacija delcev



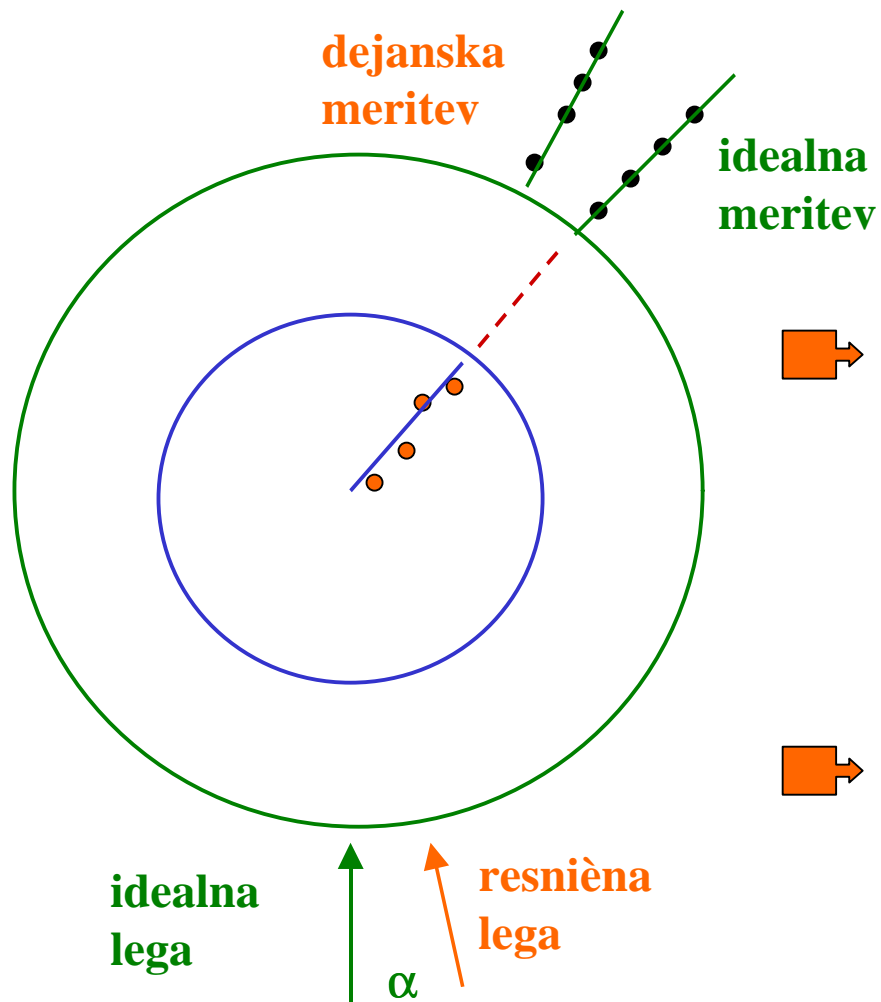
- poskusimo z $\theta = \kappa(\beta_1)\theta_0$
- vsem celicam, ki vsebujejo i-ti obroè poveèamo utëž
- ponovimo z $\theta = \kappa(\beta_n)\theta_0$
- najveèjo vsoto utëž i ima središèe obroèa



Umeritev



Umeritev sledilnih detektorjev



Umeritev sledilnih detektorjev:
posamezne detektorje moramo pravilno orientirati med seboj, sicer sledi popaèene



Za vsako umeritev potrebujemo vzorec (sledi, razpadov), za katerega poznamo odziv detektorja


enaèbe



Opis premika med detektorji

Relativni premik detektorjev glede na referenčnega opišemo z nizom majhnih parametrov $\vec{\alpha}$ (translacija, rotacija, lahko tudi časovni zamik,...)

Predpostavimo linerano zvezo:

$$\vec{q}^{\text{izmer}} - \vec{q}^e = S\vec{\alpha}$$

\vec{q}^{izmer} : vektor meritev (koordinat, kotov) v nekem detektorju;

\vec{q}^e : vektor enakih količin, ekstrapoliran od referenčnega detektorja do detektorja, s katerim izmerimo \vec{q}^{izmer} ;

S : matrika, odvisna od merjenih koordinat, modela sledi in geometrije detektorjev;

V preprostem primeru je vektor $\vec{\alpha}$ sestavljen iz treh translacij in treh rotacij:

$$\vec{\alpha} = (\eta_x, \eta_y, \eta_z, \epsilon_x, \epsilon_y, \epsilon_z)$$



Umeritev

Umeritev sledilnih detektorjev

Določitev relativnega premika:

Minimiziramo χ^2 :

$$\chi^2 = \sum_{k \in \text{merske tocke}} [\vec{q}_k^{\text{izmer}} - \vec{q}^e - S_k \vec{\alpha}]^T W_k^{-1} [\vec{q}_k^{\text{izmer}} - \vec{q}^e - S_k \vec{\alpha}]$$

kar nam da za rešitev:

$$\left(\sum_{k \in \text{merske tocke}} S_k^T W_k^{-1} S_k \right) \vec{\alpha} = \sum_{k \in \text{merske tocke}} S_k^T W_k^{-1} (\vec{q}_k^{\text{izmer}} - \vec{q}^e)$$

Rezultat so premiki $\vec{\alpha}$, za katere popravimo izmerke v posameznem detektorju



Umeritev

Umeritev sledilnih detektorjev



Primeren vzorec sledi
predstavljajo kozmični žarki

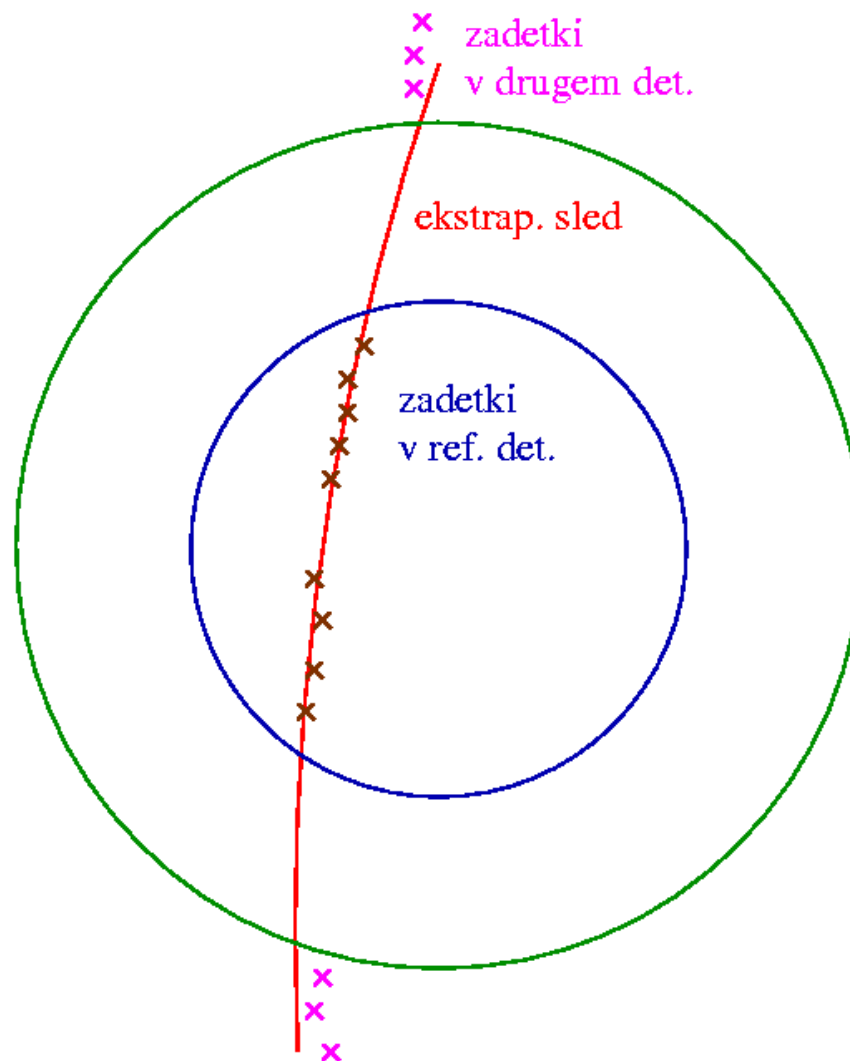
Umeritev lahko izvedemo tudi
z ustreznimi razpadi, npr. LEP:

$Z^0 \rightarrow \mu^+ \mu^-$;

slednji tudi za ilustracijo
uspešnosti metode



slike

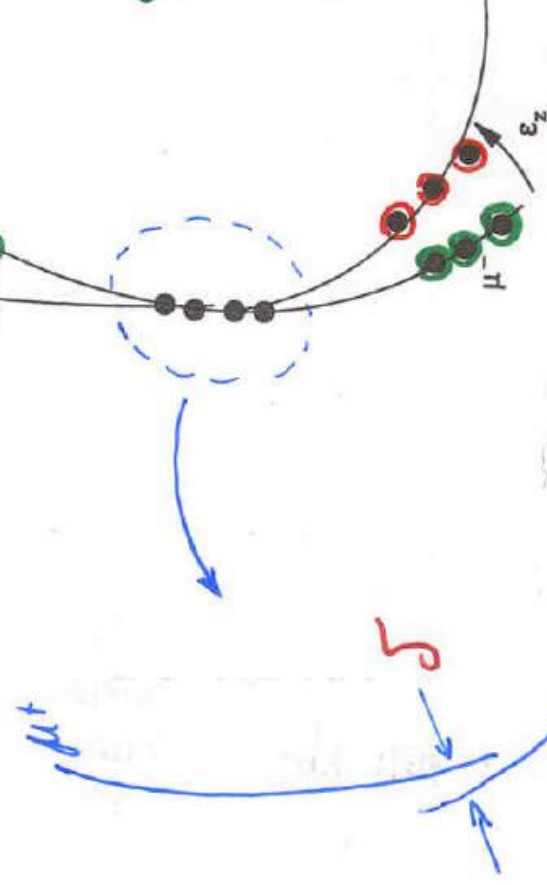


Popačenijs sledi
zaradi napačne med sebojne
orientacijs detektorjev

μ^+ ima večji izmerjen
kot ekstrap. krivinski R

o izmerjeni
zadetki v
zasukanem
det.

o ekstr. zadetki



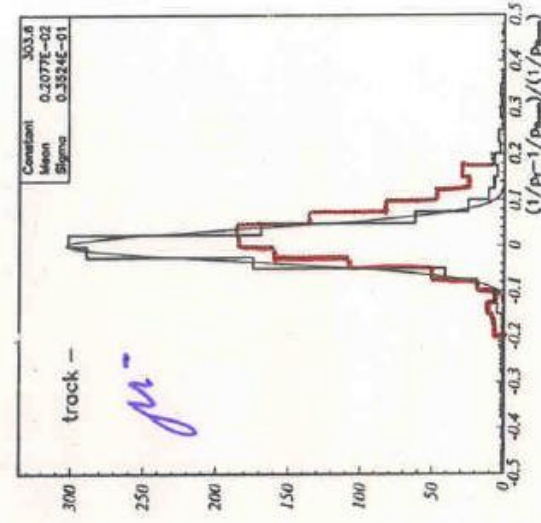
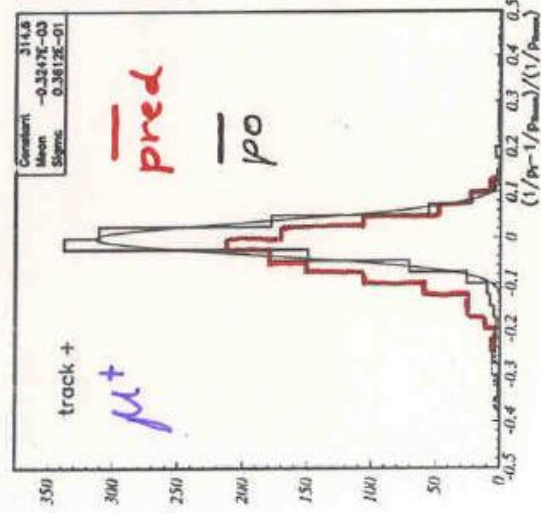
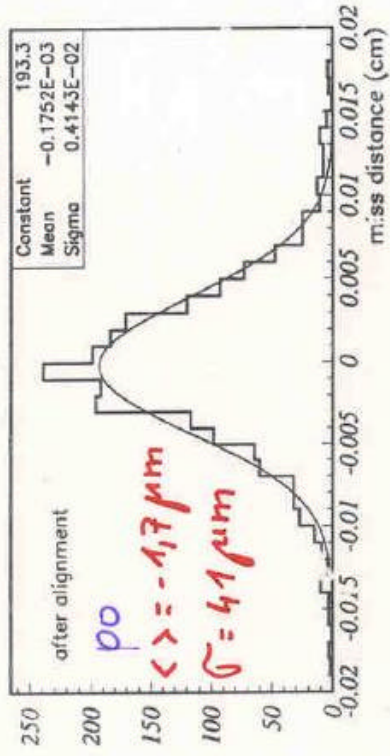
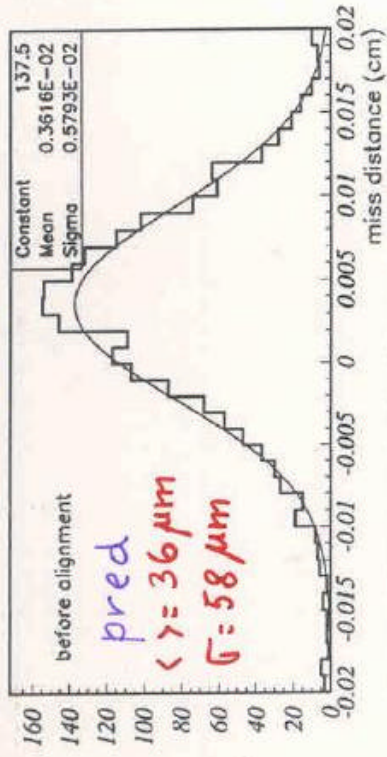
μ^- ima manjši izmerjeni
kot ekstrap. krivinski R

podaljška izmerjenih,
sledi

se ne sekata v
interakcijski točki

ORIENTIRANJE VD DELPHI

δ [cm]



$$\left[\frac{1}{p_t} - \frac{1}{p_t(\text{ekst.})} \right] / \frac{1}{p_t(\text{ekst.})}$$



Umeritev

Umeritev podatkov in MC

- ➔ **Detektorji potrebujejo umeritev** za **natanèno razumevanje signalov**, katere povzročijo detektirani delci (tipičen primer – kalorimetri).

Uporaba MC simulacije zahteva **natanèno usklajevanje** simuliranega odziva detektorja, da simulirani dogodki kar najbolj verno popišejo realno meritev.

- ➔ **Kratek primer umeritve detektorja obročev Èerenkova**
 - delci v snovi z lomnim koliènikom n sevajo Èerenkove fotone;
 - za rekonstrukcijo kota Èerenkova potrebno natanèno poznavanje n
 - pri rekonstrukciji θ_e nabitega delca uporabljamo napako $\sigma(\theta_e)$ posameznega fotona;
 - potrebujemo zanesljivo oceno te napake



Umeritev

Umeritev podatkov in MC



Kot za vsako umeritev:

vzorec sledi z znanim odzivom

$$\cos \theta_e = 1 / \beta n$$

uporabimo sledi z $p > 6 \text{ GeV}/c^2$; tudi protoni tedaj $\beta = 1 - 10^{-2}$

$$\cos \theta_e = 1 / n$$

Meritev kota Èerenkova za take sledi da vrednost lomnega koliènika n



Za take sledi izmerimo porazdelitev

$$[\theta_e(\text{izmer}) - \theta_e(\text{priè})] / \sigma_e$$

(‘pull’)

povpreèna vrednost: 0

širina porazdelitve: 1

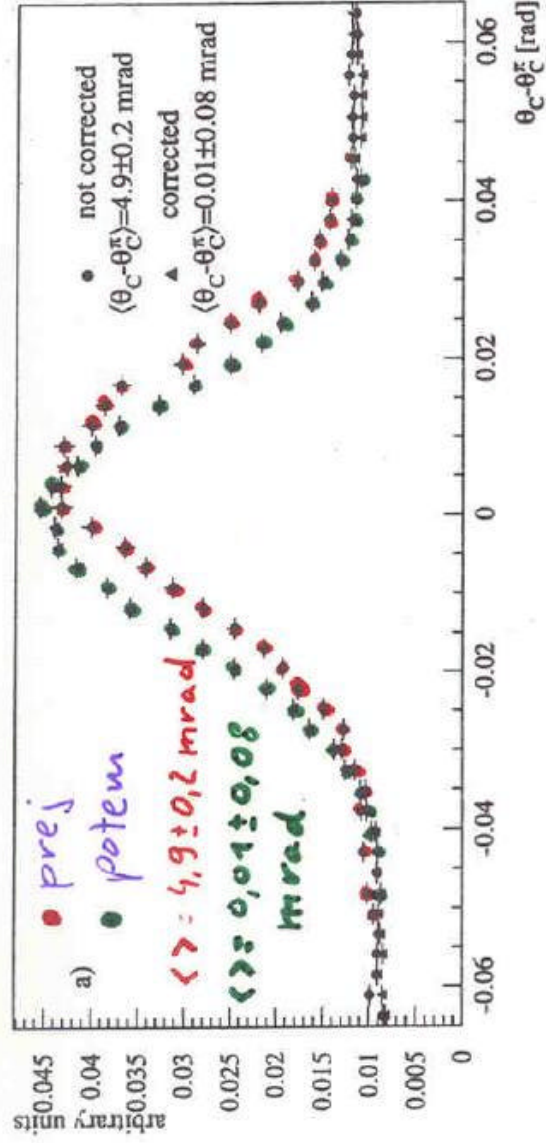
Èe širina porazdelitve ni 1 => popravimo napako



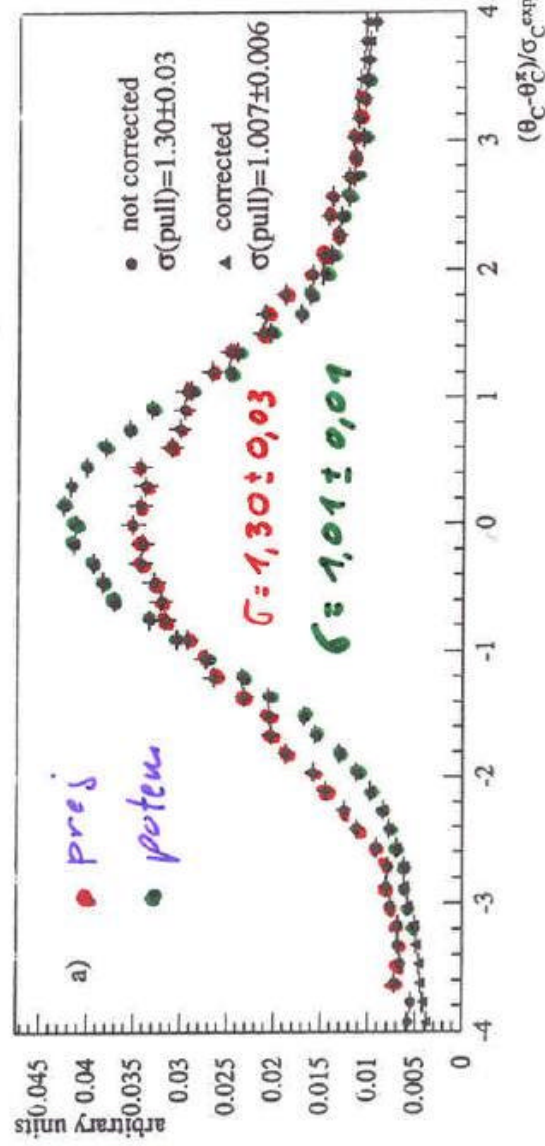
Slike

Umeritev detektorja RICH (DELPHI)

$\theta_c(\text{izmer}) - \theta_c(\text{prič}) [\text{rad}]$



pull





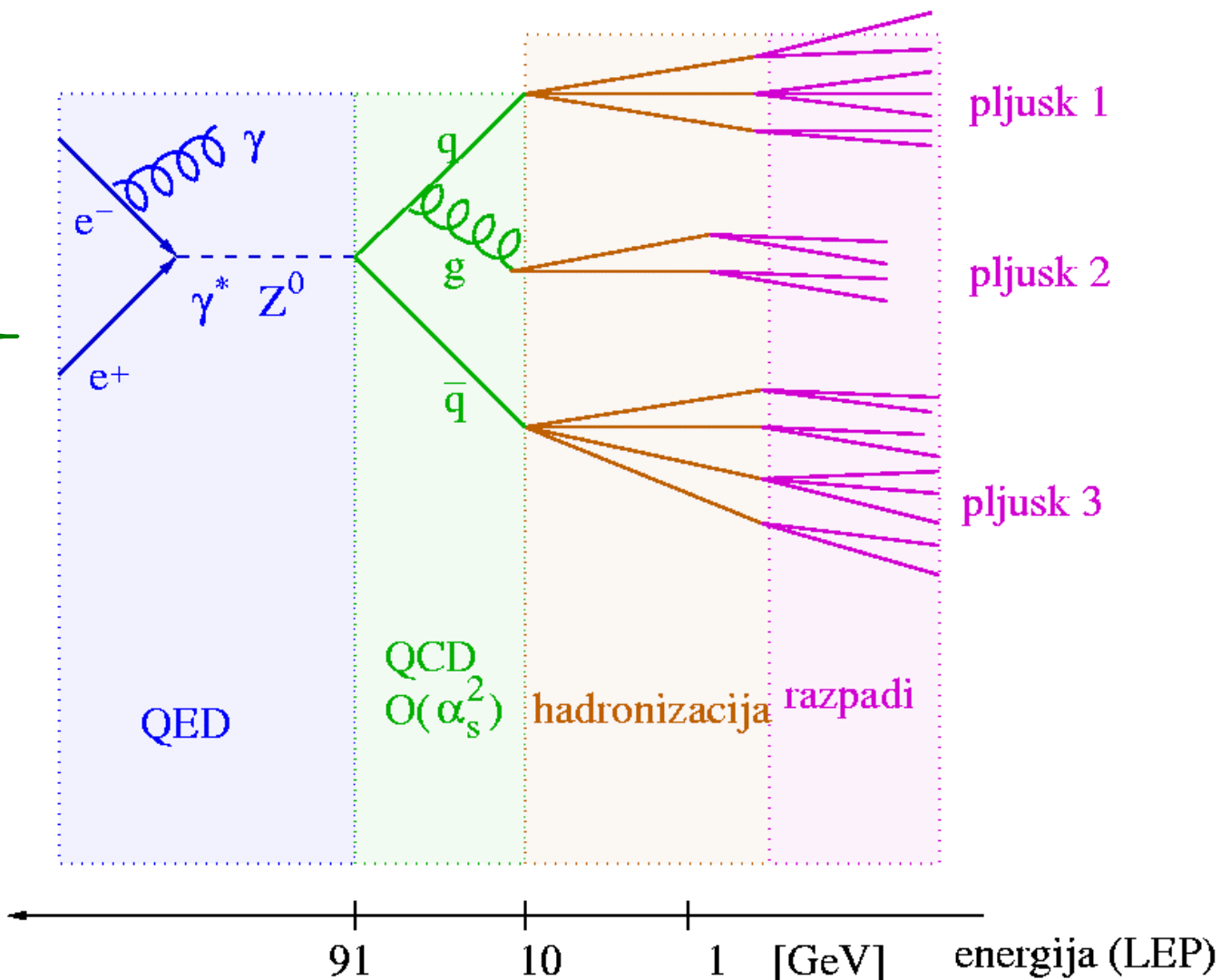
Analiza

Rekonstrukcija hadronskih pljuskov

➡ Vsi procesi s q
➡ hadronski
pljuski

Primer formacije
pljuskov pri
 $e^+ e^- \rightarrow Z^0$
(LEP)

➡ V detektorjih
izmerimo **pljuske**,
iz katerih želimo
sklepati o procesih
na nivoju **partonov**





Analiza

Rekonstrukcija hadronskih pljuskov

- ➔ **Rekonstrukcija pljuskov** – eksperimentalna metoda (katere sledi pripišemo posameznem pljusk) opazljivke (št. pljuskov, št. sledi v pljusk, kotna porazdelitev pljuskov, ...) morajo biti izražjive s parametri teorije

Definicija hadr. pljuska mora biti primerna za eksperimentalno uporabo in teoretiène izraèune, èe naj primerjamo napoved teorije z eksperimentom

- ➔ **Algoritem za druženje sledi v pljuske**

Resolucijski parameter

y_{cut}
èe dve sledi $y_{ij} < y_{\text{cut}}$
združimo v pljusk

Naèin kombiniranja
sled, npr. $\vec{p}_{\text{jet}} = \vec{p}_i + \vec{p}_j$


tabela



Analiza

Rekonstrukcija hadronskih pljuskov

Algoritmi

| algoritem | resolucijski param. | kombiniranje | opombe |
|-----------|---|--|------------------------|
| JADE | $y_{\text{cut}} = M_{ij}^2 / E_{\text{mer}}^2 = 2E_i E_j (1 - \cos \theta_{ij}) / E_{\text{mer}}^2$ | $p_k = p_i + p_j$ | ohranja E in \vec{p} |
| P | $y_{\text{cut}} = (p_i + p_j)^2 / E_{\text{mer}}^2$ | $\vec{p}_k = \vec{p}_i + \vec{p}_j$ $E_k = \vec{p}_k $ | ohranja \vec{p} |
| DURHAM | $y_{\text{cut}} = 2 \min(E_i^2, E_j^2) (1 - \cos \theta_{ij}) / E_{\text{mer}}^2$ | $p_k = p_i + p_j$ | LO in NLO log izračuni |

p_i : vektor četverec gib. kol.

\vec{p}_i : vektor gib. kol.

Višji redi v perturbacijski QCD so narejeni v približku brezmasnih partonov
⇒ zato tudi resolucijski parametri za brezmasne partone



Kvaliteta algoritmov

Za vse algoritme obstajajo napovedi perturbativne QCD do $\mathcal{O}(\alpha_s^2)$, npr. relativno št. pljuskov v trku e^+e^- :

$$R_2 = 1 - A(y_{\text{cut}}) \frac{\alpha_s(\mu)}{2\pi} - [B(y_{\text{cut}}, \mu) + C(y_{\text{cut}})] \left(\frac{\alpha_s(\mu)}{2\pi} \right)^2$$

$$R_3 = A(y_{\text{cut}}) \frac{\alpha_s(\mu)}{2\pi} + B(y_{\text{cut}}, \mu) \left(\frac{\alpha_s(\mu)}{2\pi} \right)^2$$

$$R_4 = C(y_{\text{cut}}) \left(\frac{\alpha_s(\mu)}{2\pi} \right)^2$$

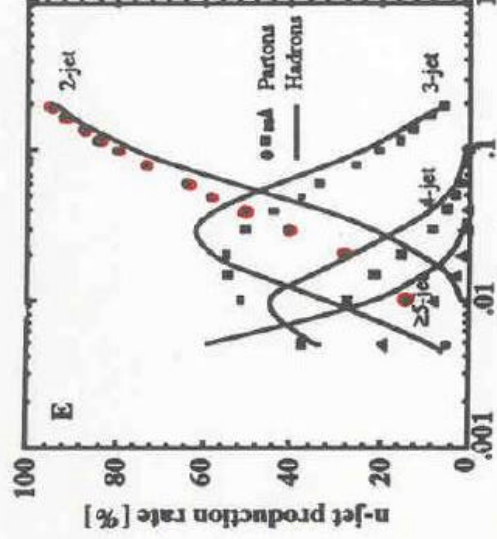
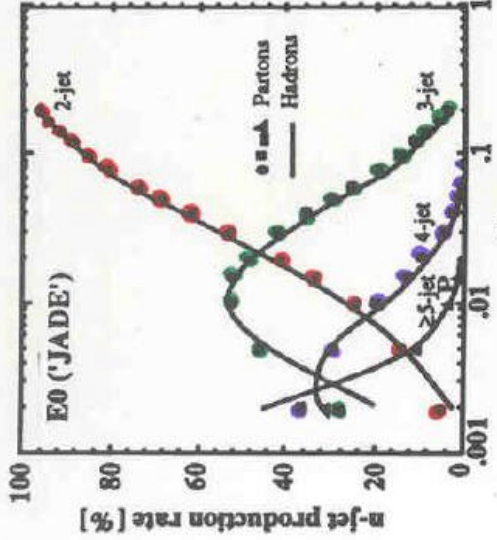
Zgornje napovedi + hadronizacijski model \Rightarrow primerjava napovedi za partone in hadronske pljuske

Relat. št. pljuskov
v trku e^+e^-
partoni/hadroni

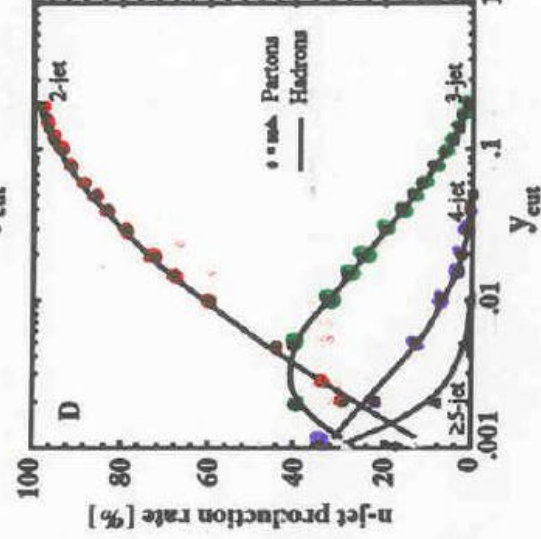
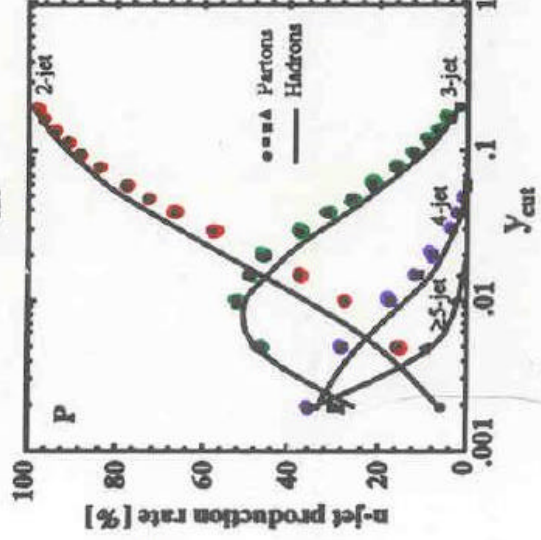
— hadroni

- partoni 2 pljuska
- partoni 3 pljuski
- partoni 4 pljuski

JADE



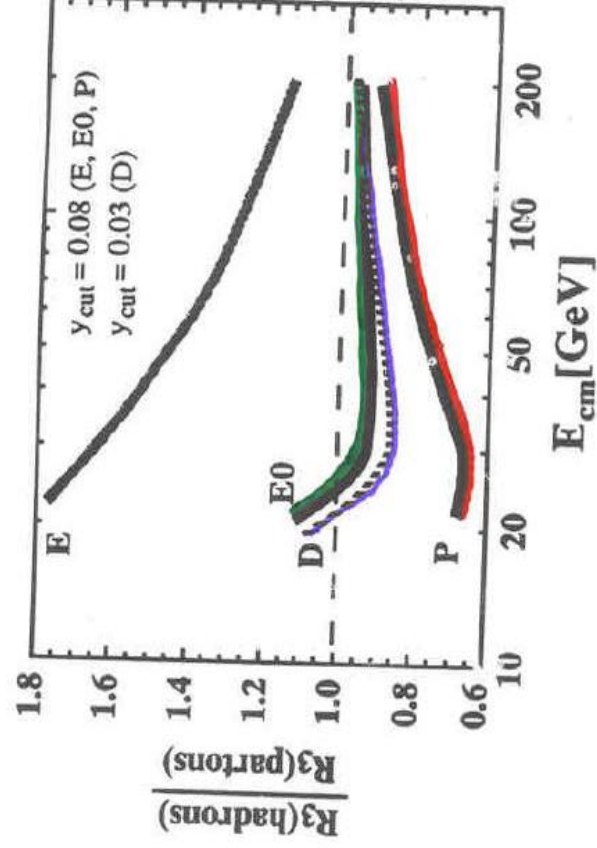
P



DURHAM

$E_{cm} = 91 \text{ GeV}$

Št. trkov e^+e^- s
tremi pljuski
hadroni / partoni



JADE

DURHAM

P



Analiza

Označevanje težkih kvarkov

- ➔ Pogosto želimo med različnimi hadronskimi pljuski določiti tiste, ki izvirajo iz težkih (b) kvarkov

H^0 ($m < 150 \text{ GeV}/c^2$) \rightarrow $b\bar{b}$ v $> 50\%$ primerov, oscilacije in kršitev simetrije CP v sistemu mezonov B,...

- ➔ V ta namen uporabimo lastnosti hadronov sestavljenih iz kvarkov b

življenjski čas
1,6 ps

masa
5,3 GeV/c^2

energija
energ. kvarka b
v fragmentaciji
višja kot energ.
lažjih kvarkov

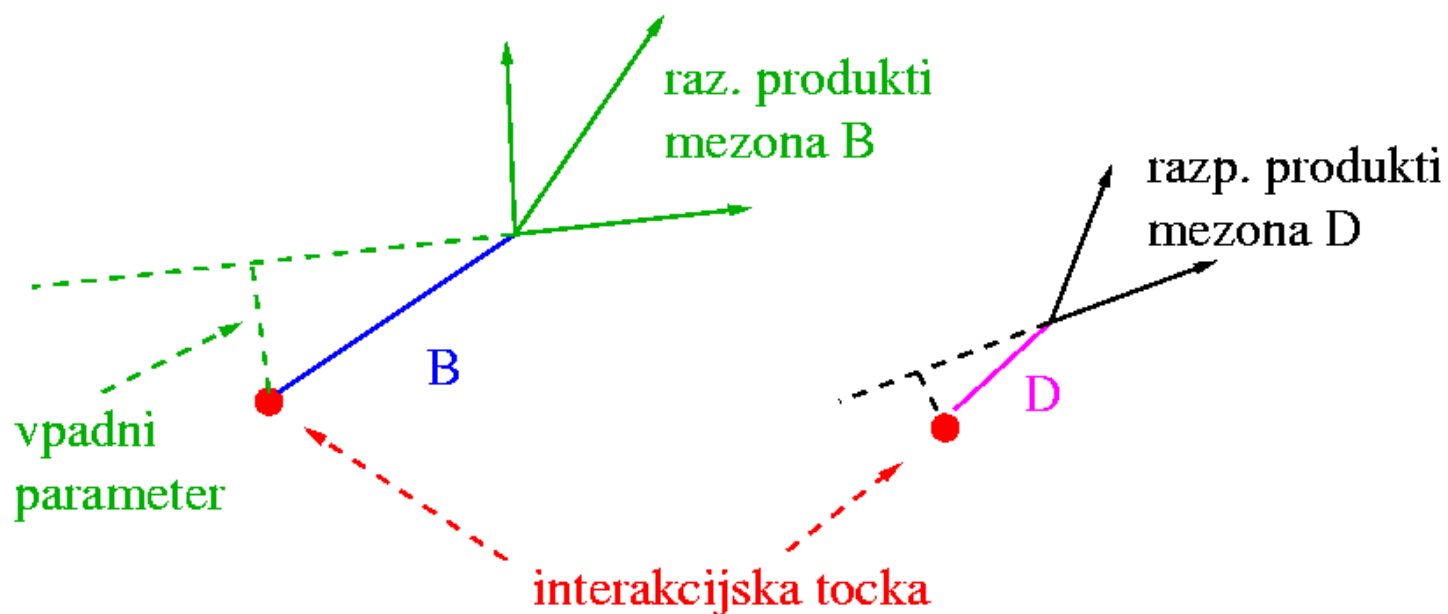


Analiza

Označevanje težkih kvarkov



Življenjski čas:



$$\gamma c \tau_B > \gamma c \tau_D \Rightarrow \delta_B > \delta_D$$



Analiza

Označevanje težkih kvarkov



Masa:

invariantna masa razpadnih produktov, rapidnost razpadnih produktov enačbe

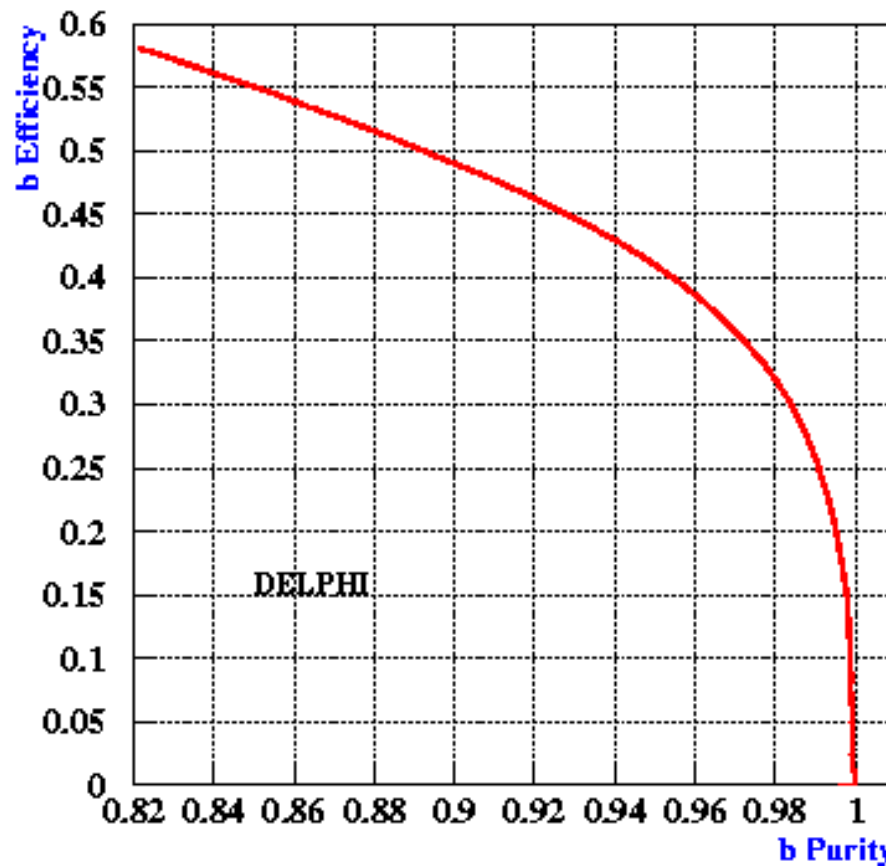


$N_b(\text{izb})$

$N_b(\text{gen})$



Vse našete lastnosti skombiniramo (MC) v eno samo verjetnost, ki jo pripišemo posameznemu pljuskju, da izvira iz kvarka b



$N_b(\text{izb})$

$N_{\text{vsi}}(\text{izb})$



Analiza

Označevanje težkih kvarkov

Masa hadronov B:

Za enostavno oceno vzemimo dvodelčni razpad $B(M) \rightarrow X(E_1)Y(E_2)$

$$\text{rapidity : } y = \frac{1}{2} \ln \left[\frac{E + p_z}{E - p_z} \right]$$

$$M^2 \approx 2E_1 E_2 (1 - \cos \theta)$$

$$E_1 \approx E_2 \approx E/2$$

$$\cos \theta \approx 1 - \frac{2M^2}{E^2}$$

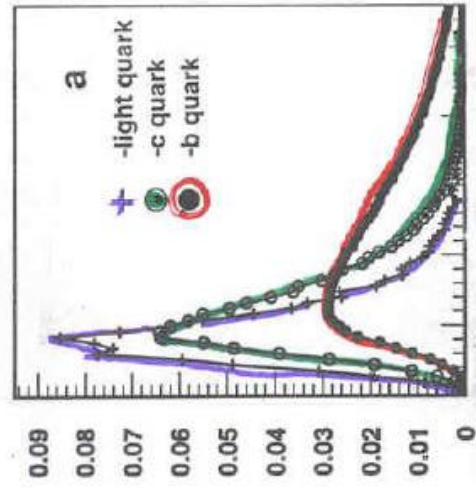
$$y \approx \frac{1}{2} \ln \left[\frac{1 + \cos \theta/2}{1 - \cos \theta/2} \right] \underset{M/E \ll 1}{\approx} \frac{1}{2} \ln \left[\frac{4E^2}{M^2} - 1 \right]$$

Povprečno število delcev v razpadu mezona B > kot pri razpadu mezona D
⇒ rapidnost razp. prod. še manjša

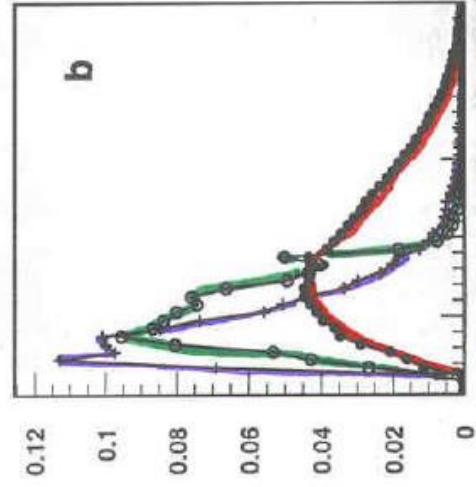
Kolicine za oznacavanje kvarkov b (DELPHI)

verjetnost iz $\Pi_i \delta_i$
za izbrane sledi

inv. masa
izbranih sledi



rapidnost
izbranih sledi



M_s
vsota $\sum E_i$ izbranih
sledi

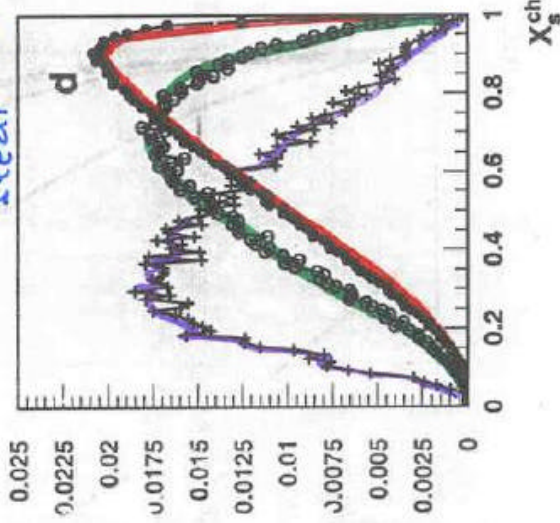
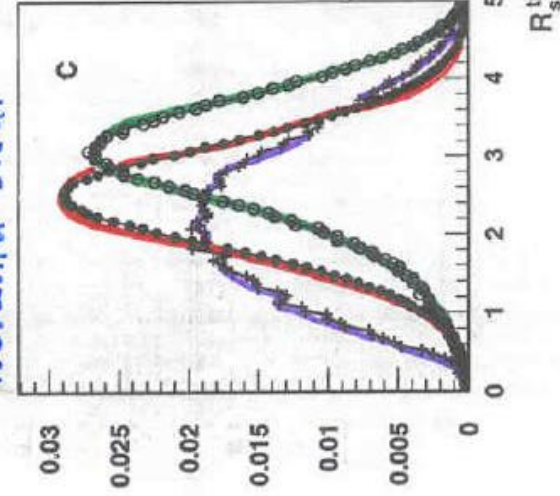


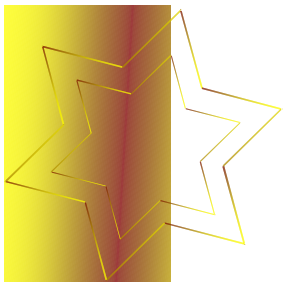
Figure 1: Distributions of discriminating variables used in the tagging.



Analiza podatkov

Zaključek

- ➔ **Pot od zajema elektronskih signalov v detektorju do analize, ki postreže z merjenimi fizikalnimi količinami, vsebuje nekaj pomembnih korakov**
- ➔ **Vsak od teh predstavlja samosvoj problem in zahteva specifične rešitve**
- ➔ **Zanesljivost končnih rezultatov meritev je močno odvisna od kakovosti rekonstrukcije**



Analiza podatkov

Nekaj (nekonvencionalne) literature (bolj specialističen dodatek osnovam v uèbenikih)

Prilagajanje sledi:

- P. Billoir, S. Qian, Simultaneous Pattern Recognition and Track Fitting by the Kalman Filtering Method, NIM A294 (1990) 219-228
- P. Billoir et al., Report on Global Track and Vertex Fitting in the DELPHI Detector, DELPHI Internal note 86-99/Prog-61 (1986) (na voljo pri B.G.)
- P. Billoir, Error Propagation in the Helix Track Model, DELPHI Internal note 87-4/Prog-63 (1987) (na voljo pri B.G.)

Meritev gibalne kolièine:

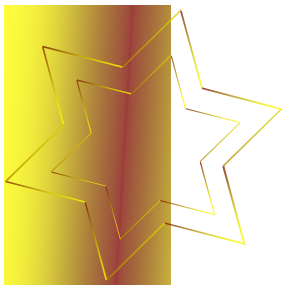
- C. Joram, Particle Detectors, Lectures for CERN Academic Training 1997-98,
<http://training.web.cern.ch/Training/ACAD/Transparencies/Joram300398/pd1/index.html>
(del na voljo pri B.G.)

Rekonstr. pljuskov v kalorim:

- M. Bosman et al., Jet Finder Library: version 1.0, ATLAS Internal note ATL-SOFT-98-038 (na voljo pri B.G.)
- P. Loch, Suggestions for a General Energy Reconstruction Scheme for the ATLAS Calorimeters, ATLAS Internal note CAL-NO-91 (na voljo pri B.G.)

Identifikacija delcev:

- I. Arino, L. Garrido, Particle Identification with the HERA-B RICH, HERA-B Internal note HERA-B 99-108 (na voljo pri B.G.)
- M. Battaglia, P.M. Kluit, Particle Identification Using the DELPHI RICH Detectors, NIM A433 (1999) 252-256



Analiza podatkov

Nekaj (nekonvencionalne) literature (bolj specialističen dodatek osnovam v uèbenikih)

Umeritev sledilnih det.:

-P. Billoir, J.E. Campagne, Off-line Alignment by Tracks, DELPHI Internal note DELPHI 87-87-Prog-97 (1987) (na voljo pri B.G.)

-A. Andreazza, E. Pioto, The Alignment of the DELPHI Tracking Detectors, DELPHI Internal note DELPHI 99-153-Track-94 (1999) (na voljo pri B.G.)

Umeritev podatkov in MC:

-B. Golob, B. Eržen, Offline Calibration of DELPHI Ring Imaging C herenkov Detector Data, DELPHI Internal note DELPHI 2000-008-Rich-97 (2000) (na voljo pri B.G.)

Rekonstrukcija hadronskih pljuskov:

-S. Bethke, Hadronic Physics in Electron-Positron Annihilation, v High Energy Phenomenology, Proc. of the 42nd Scottish Universities Summer School in Physics (1994), K.J.Peach, L.L.J. Vick, P. Osborne, eds. (na voljo pri B.G.)

Oznaèevanje težkih kvarkov:

-G. Borisov, Combined b-tagging, DELPHI Internal note DELPHI 97-94/Phys-716 (1997) (na voljo pri B.G.)